

บทที่ 2 ทฤษฎีและงานวิจัยที่เกี่ยวข้อง

2.1 วัสดุแม่เหล็ก

วัสดุแม่เหล็กถูกค้นพบและนำมาใช้เป็นเงินทิศสำหรับนักทิศทางในการเดินทางไปในที่ต่างๆ เช่น การเดินเรือ แม่เหล็กถูกนำมาใช้งานในชีวิตประจำวันของเราอย่างแพร่หลาย เช่น หัวอ่านเทป ลำโพง imotoer อุปกรณ์ไมโครเวฟ ของเล่นเด็ก และผลิตภัณฑ์อื่นๆ สภาพแม่เหล็กที่แตกต่างกันของวัสดุนั้น ขึ้นอยู่กับโครงสร้างและองค์ประกอบภายใน บางชนิดมีความเป็นแม่เหล็กแบบชั่วคราวหรือแบบอ่อน (soft) และบางชนิดเป็นแม่เหล็กแบบถาวรหรือแบบแข็ง (hard) วัสดุแม่เหล็กแต่ละชนิดจึงนำมาใช้ในงานที่แตกต่างกัน

วัสดุทุกชนิดบนโลกประกอบด้วยอะตอม โดยอะตอมประกอบด้วยอิเล็กตรอนหมุนรอบนิวเคลียส คล้ายกับกระแทกไฟฟ้าที่แผ่ผ่านเขตความกลมซึ่งจะทำให้มีสนามแม่เหล็กเกิดขึ้น การตอบสนองของอิเล็กตรอนและอะตอมในวัสดุแม่เหล็กจะบ่งบอกสภาพของแม่เหล็กที่แตกต่างกัน การระบุชนิดของวัสดุแม่เหล็กจึงระบุตามสภาพแม่เหล็กที่เกิดขึ้น วัสดุแม่เหล็กที่มีสภาพแม่เหล็กสูงเช่น วัสดุจำพวกเฟอร์โรแมกнетิกส่วนใหญ่เป็นโลหะและตัวนำไฟฟ้า ได้แก่ Fe Co Ni และสารประกอบของธาตุทั้ง 3 ชนิดนี้เป็นต้น วัสดุแม่เหล็กจำพวกเฟอร์โรริแมกเนติกก็เป็นวัสดุที่มีสภาพแม่เหล็กสูง ส่วนใหญ่เป็นชนวนไฟฟ้า เช่น สารอนเทียนเฟอร์ไรท์ แบร์ยมเฟอร์ไรท์ และแมงกานีสเฟอร์ไรท์ เป็นต้น วัสดุเฟอร์โรแมกเนติกและเฟอร์โรริแมกเนติกยังสามารถแบ่งชนิดออกได้เป็น 2 ชนิด คือแม่เหล็กแบบชั่วคราวหรือแบบอ่อน และแม่เหล็กแบบถาวรหรือแบบแข็ง เช่นเหล็กบริสุทธิ์เป็นวัสดุแม่เหล็กแบบอ่อนเมื่อเกิดแมกเนติกซ์ (magnetized) จะเกิดสนามแม่เหล็กสูงแต่เมื่อนำมาเหลาลงจะหาย去 แต่เมื่อติดต่อ ก็จะคงมีอำนาจแม่เหล็ก ส่วนแม่เหล็กที่มีสภาพแม่เหล็กต่ำเมื่อเทียบกับวัสดุจำพวกเฟอร์โรแมกเนติกและเฟอร์โรริแมกเนติก ได้แก่ วัสดุแม่เหล็กแบบไฮโอดแมกเนติก พาราแมกเนติกและแอนไทเฟอร์โรแมกเนติก ซึ่งจะได้อธิบายในหัวข้อถัดไป

2.2 คุ้มขั้วแม่เหล็กและโมเมนต์แม่เหล็ก

พฤติกรรมทางแม่เหล็กสามารถดูได้จากโครงสร้างอะตอม โดยการเคลื่อนที่ของอิเล็กตรอนที่ทำให้เกิดสนามแม่เหล็กในวัสดุ มี 3 ชนิด ได้แก่ การหมุนรอบแกนของอิเล็กตรอนเองหรือการสปิน (electron spin) การเคลื่อนที่รอบนิวเคลียสหรือการออบิทอล (electron orbit) และการเคลื่อนที่รอบตัวเองของนิวเคลียสเอง (nuclear spin) ดังรูปที่ 2.1 การเคลื่อนที่ทั้งสองแบบทั้งสปินและออบิทอล ทำ

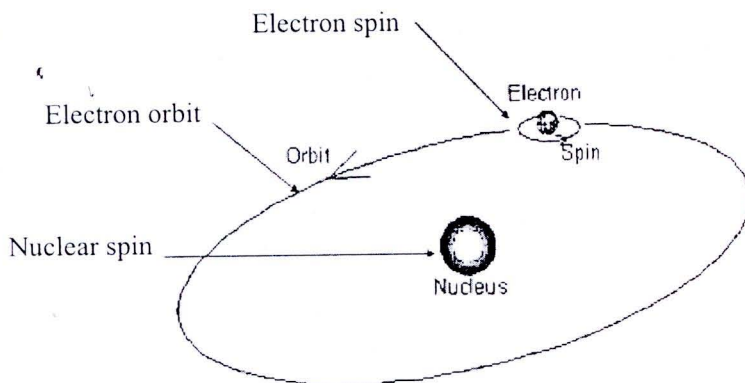
ให้เกิดการประพฤติตัวของสารแม่เหล็ก เมื่อ โนเมนต์แม่เหล็กเกิดจากการสปินของอิเล็กตรอนภายในอะตอม โนเมนต์ที่เกิดขึ้นเป็นค่าคงที่พื้นฐานที่เรียกว่า บอร์แมกนีตرون (Bohr magnetron, μ_B) หาได้จาก

$$\mu_B = \text{Bohr magnetron} = \frac{qh}{4\pi m_e} = 9.274 \times 10^{-24} \text{ A} \cdot \text{m}^2 \quad (2.1)$$

q คือ ประจุของอิเล็กตรอน (1.6×10^{-19} คูลโอมปี, C)

h คือ ค่าคงที่ของพลังค์ (Planck's constant = 6.6261×10^{-34} จูด- วินาที, J-s)

m_e คือ มวลของอิเล็กตรอน (9.11×10^{-31} กิโลกรัม, kg)



รูปที่ 2.1 การเกิด โนเมนต์แม่เหล็กจากการสปิน การออบิทอลของอิเล็กตรอนและการเคลื่อนที่ของนิวเคลียส [5]

นิวเคลียสของอะตอมประกอบด้วยนิวตรอนกับโปรตอนซึ่งเป็นอนุภาคที่มีสปิน อย่างไรก็ตาม โนเมนต์แม่เหล็กทั้งหมดที่เกิดจากสปินของโปรตอนกับนิวตรอนซึ่งรวมกันอยู่เป็นนิวเคลียสมีค่าน้อยกว่าของอิเล็กตรอนมากดังนั้น โดยทั่วไปจึงไม่นับผล โนเมนต์แม่เหล็กของนิวเคลียส

พิจารณา โนเมนต์แม่เหล็กของอะตอม โดยอาศัยหลักการกีดกันของเพาลี (Pauli exclusion principle) ว่า อิเล็กตรอนสองตัวไม่อาจอยู่ในระดับพลังงานเดียวกันได้ นั่นหมายความว่า ทิศทางสปินของ อิเล็กตรอนจะมีทิศทางตรงข้ามกันทำให้ โนเมนต์แม่เหล็กหักล้างกัน ลำดับต่อมาพบว่า โนเมนต์ที่เกิดจากออบิทอลของอิเล็กตรอนก็จะหักล้างกันด้วยเช่นกัน นั่นเป็นเหตุผลว่าสารทุกชนิดไม่เป็นสาร แม่เหล็ก ชาตุธรรมซึ่งบางตัวที่บรรจุอิเล็กตรอนบางส่วนในชั้นพลังงาน 3d 4d และ 5d เช่น แคน tha ในด บรรจุอิเล็กตรอนบางส่วนในชั้น 4f มี โนเมนต์แม่เหล็กรวมไม่เท่ากับศูนย์เนื่องจากบางระดับชั้น พลังงานมีอิเล็กตรอนจับกันไม่เป็นคู่

ตารางที่ 2.1 สpin ของอิเล็กตรอนในระดับพลังงาน 3d ในธาตุทรายชั้น โดยลูกศรจะบอกทิศทางของสpin [5]

โลหะ	3d					4s
Sc	↑					↑↓
Ti	↑	↑				↑↓
V	↑	↑	↑			↑↓
Cr	↑	↑	↑	↑	↑	↑
Mn	↑	↑	↑	↑	↑	↑↓
Fe	↑↓	↑	↑	↑	↑	↑↓
Co	↑↓	↑↓	↑	↑	↑	↑↓
Ni	↑↓	↑↓	↑↓	↑	↑	↑↓
Cu	↑↓	↑↓	↑↓	↑↓	↑↓	↑

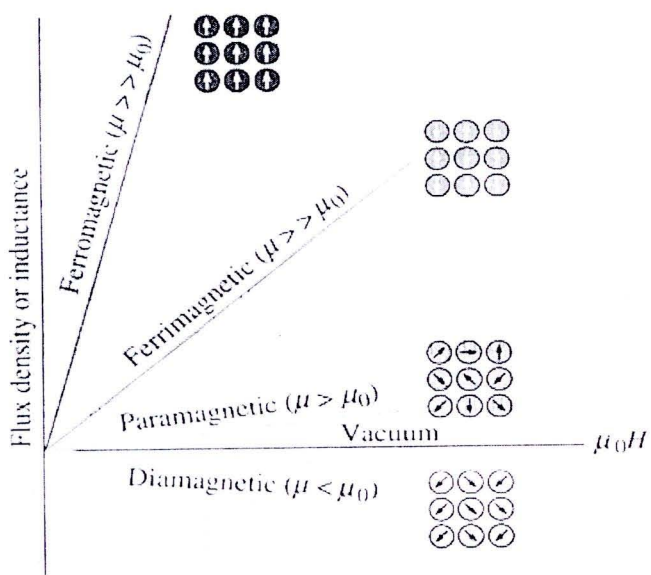
ธาตุทรายชั้นบางธาตุมีระดับพลังงานภายในยังไม่เต็ม เช่น ธาตุสแกนเดียม (Sc) จนถึงทองแดง (Cu) ดังแสดงในตาราง 2.1 พิจารณาทองแดงจะเห็นว่าที่ระดับพลังงาน 4s มีอิเล็กตรอนบรรจุไม่ครบคู่ อิเล็กตรอนของโครเมียมและทองแดงจะถูกหักล้าง โดยอันตรกิริยากับอะตอมอื่นๆ เมื่อกัดอันตรกิริยา กับอะตอมอื่น อิเล็กตรอนที่บรรจุไม่เป็นคู่ของธาตุทองแดงจะถูกเติมให้เต็มและในระดับพลังงาน 3d ของทองแดงมีการบรรจุเป็นคู่ทั้งหมด ดังนั้นทองแดงจึงมีโมเมนต์แม่เหล็กรวมเป็นศูนย์ อิเล็กตรอนในระดับชั้นพลังงาน 3d ของธาตุทรายชั้น 8 ธาตุที่เหลือในตารางที่ 2.1 ไม่ได้บรรจุอิเล็กตรอนเป็นคู่ ครบทั้งหมด ในแมงกานิส (Mn) สpin ที่ไม่ครบคู่มี 5 อิเล็กตรอนซึ่งมีทิศทางเดียวกัน ดังนั้นแต่ละอะตอมของแมงกานิสจะมีแมกเนติกโมเมนต์ต่างกัน ซึ่งสัมพันธ์กับจำนวนอิเล็กตรอนที่ไม่ครบคู่ ใน helypyrathum เมื่ออัตโนมัติจะบังคับอะตอมของธาตุอื่นเป็นผลึก โมเมนต์แม่เหล็กจะถูกหักล้าง ดังนั้นธาตุทรายชั้นที่อะตอมมีโมเมนต์แม่เหล็กไม่เท่ากันศูนย์จะไม่ประพฤติตัวเป็นวัสดุแม่เหล็ก ตัวอย่างเช่น ไอออนของเหล็ก (Fe^{2+}) มีโมเมนต์แม่เหล็กรวม $4\mu_B$ (สpin ของอิเล็กตรอน 4 ตัว) เมื่อร่วมกับ Cl กล้ายเป็นผลึก $FeCl_2$ ซึ่งไม่มีสภาพแม่เหล็ก

การตอบสนองของอะตอมต่อสนามแม่เหล็กภายนอกขึ้นอยู่กับข้อความว่าจะแสดงผลต่อสนามแม่เหล็กภายนอกอย่างไร ธาตุทรายชั้นส่วนมาก เช่น Cu และ Ti จะแสดงผลรวมของโมเมนต์แม่เหล็กแต่ละอะตอมเป็นศูนย์ อย่างไรก็ตามอะตอมในนิกเกิล (Ni) เหล็ก (Fe) และโคบอลต์ (Co) ได้รับผลของการอันตรกิริยาการแลกเปลี่ยน (exchange interaction) โดยที่การวางแผนตัวของข้อความแม่เหล็กในอะตอมหนึ่งมีผลต่ออะตอมรอบๆ ในกรณีของเหล็ก นิกเกิล และโคบอลต์ โมเมนต์

แม่เหล็กจะวางตัวในทิศทางเดียวกันและเรียกวัสดุชนิดนี้ว่าวัสดุแม่เหล็กเพอร์โโรแมกเนติก ในชาตุบางชนิด เช่น โครเมียม (Cr) มีโครงสร้างเป็นลูกบาศก์แบบบอดี้เซนเตอร์ (body centered cubic, bcc) โดยมีอะตอมในชั้นกลางหน่วยเซลล์จะมีทิศทางตรงข้ามกับอะตอมที่อยู่ที่มุมของหน่วยเซลล์ โครงสร้างชนิดนี้ของโครเมียมจะสร้างโน้ม恩ด์แม่เหล็กในทิศตรงข้ามกันเพื่อหักล้างกัน ดังนั้น โน้ม恩ด์แม่เหล็กรวมมีค่าเป็นศูนย์ เรียกวัสดุชนิดนี้ว่าวัสดุแม่เหล็กแอนไฟฟอร์โโรแมกเนติก วัสดุที่โน้ม恩ด์แม่เหล็กของอะตอมหรือ ไอออนที่ต่างกัน สร้างโน้ม恩ด์แม่เหล็กในทิศทางตรงข้ามกัน แต่หักล้างกัน ไม่หมุนเรียกวัสดุชนิดนี้ว่าวัสดุแม่เหล็กเพอร์ริแมกเนติก

2.3 ชนิดของวัสดุแม่เหล็ก

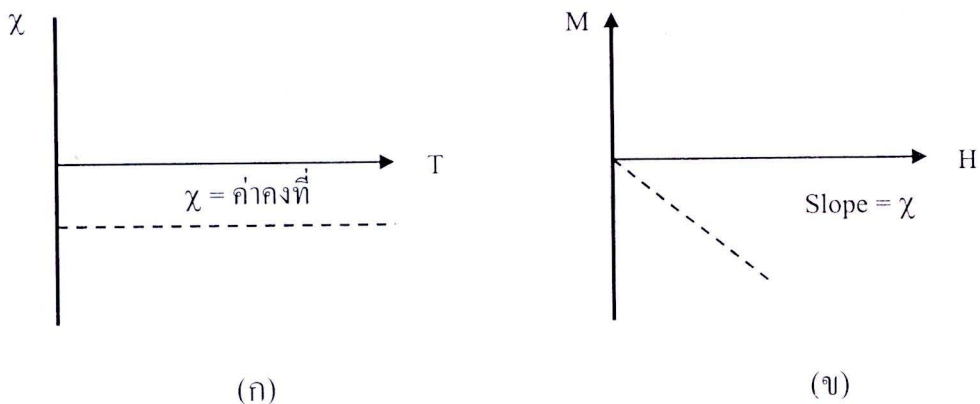
เมื่อวัสดุอยู่ภายใต้อิทธิพลของสนามแม่เหล็กการประพฤติตัวของแม่เหล็กแต่ละชนิดจะแตกต่างกัน แบ่งได้เป็น 6 ชนิด แสดงดังรูปที่ 2.2 ที่แสดงถึงชนิดของวัสดุแม่เหล็กได้แก่วัสดุแม่เหล็กโดยแมกเนติก วัสดุแม่เหล็กพาราแมกเนติก วัสดุแม่เหล็กแอนไฟฟอร์โโรแมกเนติก วัสดุแม่เหล็กเพอร์โโรแมกเนติก วัสดุแม่เหล็กเพอร์ริแมกเนติกและวัสดุแม่เหล็กซุปเปอร์พาราแมกเนติก



รูปที่ 2.2 การประพฤติตัวของแม่เหล็กแต่ละชนิด [5]

2.3.1 วัสดุแม่เหล็กไดอะแมกเนติก

วัสดุแม่เหล็กไดอะแมกเนติก (diamagnetic material) ประกอบด้วยอะตอมที่ไม่มีสภาพแม่เหล็ก เมื่อให้สนามแม่เหล็กภายนอกแก้วัสดุแม่เหล็กชนิดนี้แมกнетไร้เชิงลักษณ์ที่เกิดขึ้นมีค่าน้อยมาก และมีพิษทางตรงข้ามกับสนามแม่เหล็กที่ให้กับวัสดุค่าสภาพรับไว้ได้ของแม่เหล็ก ($\text{resceptibility}, \chi$) จะขึ้นกับสนามแม่เหล็กภายนอกและอุณหภูมิโดยค่าสภาพรับไว้ได้ของแม่เหล็กที่ได้จะมีค่าเป็นลบและอยู่ในระดับ 10^{-5} ดังรูปที่ 2.3 ที่แสดงถึงความสัมพันธ์ของ 2.3 (ก) ความสัมพันธ์ระหว่างอุณหภูมิและค่าสภาพรับไว้ได้ของแม่เหล็ก 2.3 (ข) ความสัมพันธ์ระหว่างสนามแม่เหล็กภายนอกและค่าแมกเนติกนี้เป็นผลมาจากการเปลี่ยนแปลงการเคลื่อนที่ในออบิทของอิเล็กตรอนภายในตัวสนามแม่เหล็กภายนอก สภาพแม่เหล็กนี้สามารถเกิดกับอะตอมที่เป็นแม่เหล็ก เช่น กันแต่จะเกิดน้อยมากแต่จะเกิดขึ้นแรงมากกับสารตัวนำยิ่งๆ วด

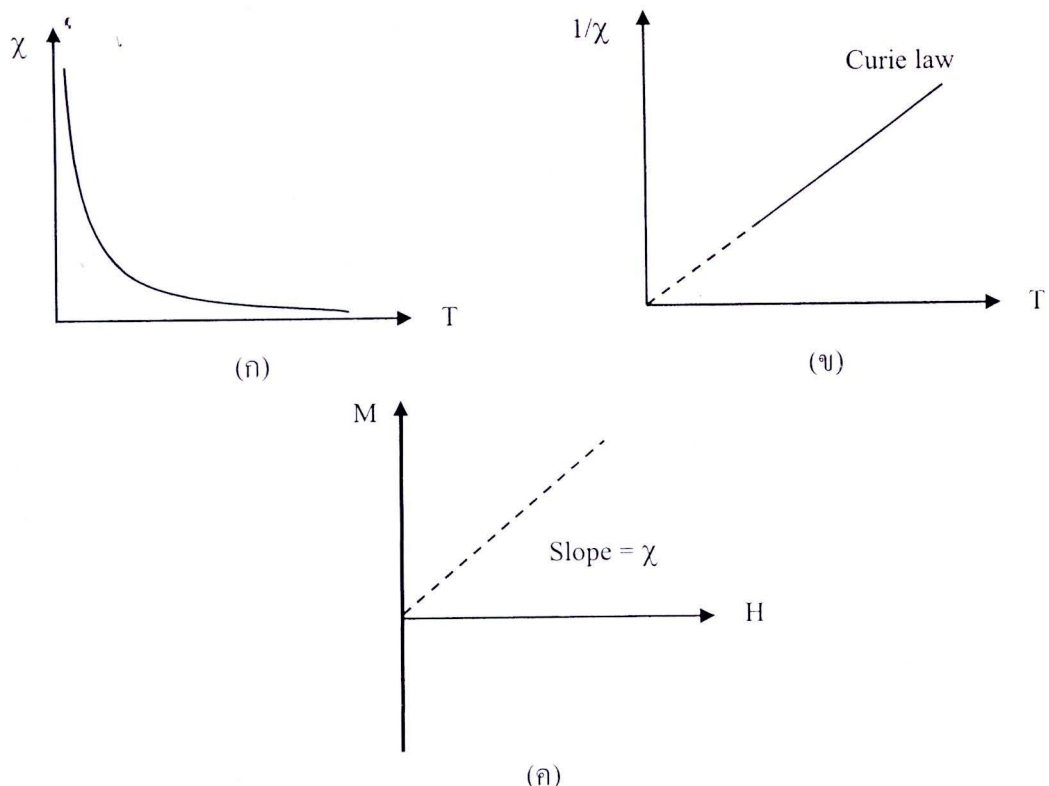


รูปที่ 2.3 กราฟของวัสดุไดอะแมกเนติกแสดง (ก) ความสัมพันธ์ระหว่างอุณหภูมิและค่าสภาพรับไว้ได้ของแม่เหล็กและ (ข) ความสัมพันธ์ระหว่างสนามแม่เหล็กภายนอกและค่าแมกเนติกนี้เป็นผลมาจากการเปลี่ยนแปลงการเคลื่อนที่ในออบิทของอิเล็กตรอนภายในตัวสนามแม่เหล็กภายนอก สภาพแม่เหล็กนี้สามารถเกิดกับอะตอมที่เป็นแม่เหล็ก เช่น กันแต่จะเกิดน้อยมากแต่จะเกิดขึ้นแรงมากกับสารตัวนำยิ่งๆ วด [6]

2.3.2 วัสดุแม่เหล็กพารามแมกเนติก

วัสดุแม่เหล็กพารามแมกเนติก (paramagnetic material) เกิดจากโมเมนต์แม่เหล็กตัวรวมของบางอะตอม หรือทุกอะตอมมีอันตรกิริยากับโมเมนต์แม่เหล็กของอะตอมอื่นๆ ดังนั้นจะมีการวางแผนตัวของโมเมนต์แม่เหล็กในทิศทางต่างๆ อย่างอิสระเรียกวัสดุนี้ว่าวัสดุพารามแมกเนติกของอะตอมอิสระ เมื่อให้สนามแม่เหล็กภายนอกกับวัสดุแม่เหล็กชนิดนี้ ทิศทางของโมเมนต์ของวัสดุจะเปลี่ยนไปโดยแมกเนติกเชิงจะถูกเหนี่ยวแน่นำให้ขนานกับสนามแม่เหล็ก แมกเนติกเชิงที่เกิดขึ้นจะมีขนาดอ่อน แมกเนติกเชิงจะมีค่าลดลงเมื่ออุณหภูมิสูงขึ้นและการเปลี่ยนแปลงของแมกเนติกเชิงจะมีความสัมพันธ์

กับสนามแม่เหล็กภายนอกกล้ายเป็นเชิงเส้นมากขึ้นที่สนามแม่เหล็กค่าต่ำ ส่วนค่าสภาพรับไว้ได้ของแม่เหล็กจะเพิ่มขึ้นและจะลดลงเมื่ออุณหภูมิเพิ่มขึ้น จากรูปที่ 2.4 แสดงกราฟของวัสดุพาราแมกเนติก 2.4 (ก) ความสัมพันธ์ระหว่างอุณหภูมิและค่าสภาพรับไว้ได้ของแม่เหล็ก 2.4 (ข) อุณหภูมิและส่วนกลับของค่าสภาพรับไว้ได้ของแม่เหล็กและ 2.4 (ค) สนามแม่เหล็กภายนอกและค่าแมกเน่โตเซชัน จะเห็นได้ว่าความสัมพันธ์ระหว่างอุณหภูมิและส่วนกลับของค่าสภาพรับไว้ได้ของแม่เหล็ก ของวัสดุพาราแมกเนติกมีลักษณะเป็นเชิงเส้นตามกฎของคูรี (Curie law) โดยทั่วไปค่าสภาพรับไว้ได้ของแม่เหล็ก จะมีค่าอยู่ระหว่าง 10^{-3} ถึง 10^{-5} การทดลองในวัสดุจริงพบว่าที่อุณหภูมิต่ำๆ จะไม่เป็นไปตามกฎของคูรี ตัวอย่างวัสดุที่มีสภาพเป็นพาราแมกเนติก เช่น อลูมิเนียม ไทเทเนียมและโลหะผสมของทองแดง เป็นต้น

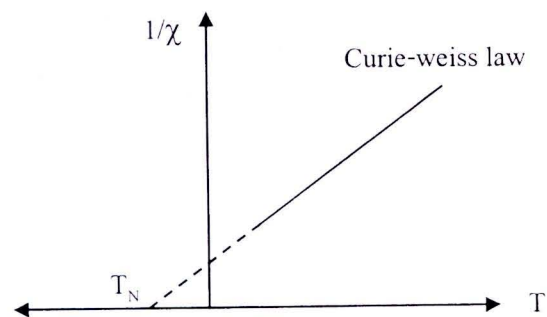


รูปที่ 2.4 กราฟของวัสดุพาราแมกเนติกแสดง (ก) ความสัมพันธ์ระหว่างอุณหภูมิและค่าสภาพรับไว้ได้ของแม่เหล็ก (ข) อุณหภูมิและส่วนกลับของค่าสภาพรับไว้ได้ของแม่เหล็กและ (ค) สนามแม่เหล็กภายนอกและค่าแมกเน่โตเซชัน [6]

2.3.3 วัสดุแม่เหล็กแอนไทเฟอร์โรแมกเนติก

วัสดุแม่เหล็กแอนไทเฟอร์โรแมกเนติก (antiferromagnetic material) ลักษณะการวางตัวของโมเมนต์แม่เหล็กจะมีทิศทางตรงข้ามกันทำให้แมกเน่โตเซชันที่มีค่าเป็นศูนย์บัณฑุที่ยังไม่ได้สนามแม่เหล็ก

ภายนอก การวางแผนตัวตรวจข้ามกันของโน้ม-men แม่เหล็กของอะตอมเป็นผลมาจากการอันตราริริยาของอะตอม ข้างเคียงที่เรียกว่า อันตราริริยาแลกเปลี่ยนซึ่งมีค่าเป็นลบ เมื่อให้สนามแม่เหล็กภายนอกแก่ วัสดุ สนามแม่เหล็กจะพยายามหนี ยวนำ โน้ม-men แม่เหล็กของอะตอมให้หันไปตามทิศทางของ สนามแม่เหล็ก จากรูปที่ 2.5 เมื่อพิจารณาค่าสภารับไว้ได้ของแม่เหล็กที่อุณหภูมิต่ำกว่า อุณหภูมนิล (Neel Temperature, T_N) ค่าสภารับไว้ได้ของแม่เหล็กจะลดลงและที่อุณหภูมิสูงกว่า อุณหภูมนิล ค่า สภารับไว้ได้ของแม่เหล็กจะมีลักษณะคล้ายวัสดุแม่เหล็กแบบพาราแมกเนติก ที่อุณหภูมนิลจะได้ค่า สภารับไว้ได้ของแม่เหล็กสูงสุด ตัวอย่างวัสดุแม่เหล็กแบบแอนไไฟฟอร์โรแมกเนติก เช่น MnO NiO CoO และ $MnCl_2$ เป็นต้น

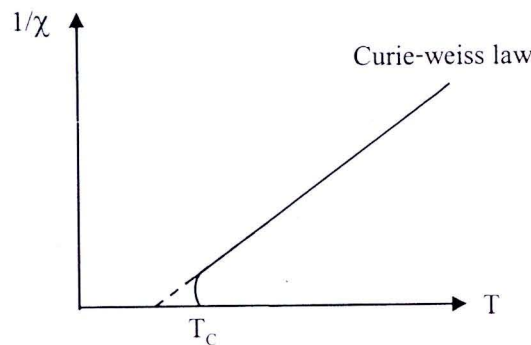


รูปที่ 2.5 กราฟความสัมพันธ์ระหว่าง อุณหภูมิกับส่วนกลับของค่าสภารับไว้ได้ของแม่เหล็กของ วัสดุแอนไไฟฟอร์โรแมกเนติก [6]

2.3.4 วัสดุแม่เหล็กเฟอร์โรแมกเนติก

วัสดุเฟอร์โรแมกเนติก (ferromagnetic material) จะมีลักษณะตรงกันข้ามกับแอนไไฟฟอร์โรแมกเนติก นั่นคือ มีอันตราริริยาการแลกเปลี่ยน เป็นบวก ซึ่งจะทำให้ โน้ม-men แม่เหล็ก ว่างตัวในทิศทางเดียวกันกับ อะตอม ข้างเคียง เรียก สนามนี้ว่า สนามแลกเปลี่ยน เมื่ออุณหภูมิเพิ่มขึ้น ค่าสภารับไว้ได้ของแม่เหล็ก ของวัสดุแม่เหล็กเฟอร์โรแมกเนติกจะมีลักษณะคล้ายกัน แม่เหล็กพาราแมกเนติก เป็นไปตามกฎของ Curie-Weiss อย่างไรก็ตาม ค่าสภารับไว้ได้ของแม่เหล็ก จะหาค่าไม่ได้ ที่ อุณหภูมิคูรี (Curie temperature, T_c) เนื่องจากค่าแมกнетิกเซชัน เป็นศูนย์ที่ อุณหภูมิคูรี พลังงานความร้อนจะมีผลต่อ โน้ม-men แม่เหล็กน้อยลง ทำให้เกิด spontaneous magnetization ในขณะที่ยังไม่ได้ จ่าย สนามแม่เหล็ก ภายนอก spontaneous magnetization นี้จะมีค่าสูงที่สุด ที่ 0 เคลวิน ซึ่งที่ อุณหภูมนี้ พลังงานของ โน้ม-men แม่เหล็กจะไม่มีผลจากพลังงานความร้อน ซึ่งจะทำให้ โน้ม-men ทุกอัน ว่างตัวในทิศทาง เดียวกันหมด เราเรียกบริเวณนี้ว่า โดเมนแม่เหล็ก (magnetic domain) แต่ละ โดเมนจะประกอบด้วย อะตอมจำนวนมาก ในวัสดุแม่เหล็กเฟอร์โรแมกเนติก เมื่อ ถูกหนี ยวนำ โดย สนามแม่เหล็กภายนอก จะ ทำให้เกิด แมกเนติกเซชันสูงสุด (M_s) เมื่อ จ่าย สนามแม่เหล็ก (H) มากพอ ทำให้ แมกเนติกเซชัน มี

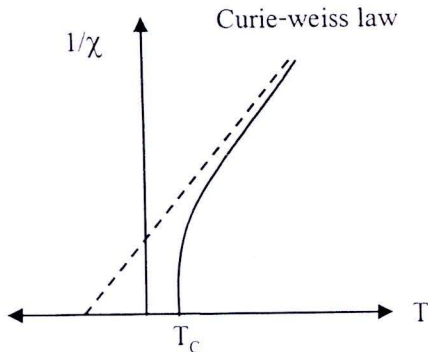
แนวโน้มที่จะอิ่มตัว ถ้าให้สนามแม่เหล็กสูงสุดเปลี่ยนแปลงอย่างต่อเนื่องระหว่างบวกและลบ จะเกิดกระบวนการกลับทิศตามสนามทำให้ได้ วงฮีสเทอร์รีซีส (hysteresis loop) ขึ้น โดยกระบวนการเกิด วงฮีสเทอร์รีซีสจะอธิบายในหัวข้อ 2.4 ต่อไป จากรูป 2.6 แสดงความสัมพันธ์ระหว่างอุณหภูมิกับส่วน กลับของค่า susceptibility ($1/\chi$) ของวัสดุเฟอร์โรแมกнетิก ที่อุณหภูมิสูงกว่าอุณหภูมิキュริจะมีลักษณะ เป็นเชิงเส้นคล้ายกับวัสดุพาราแมกเนติก



รูปที่ 2.6 กราฟความสัมพันธ์ระหว่างอุณหภูมิกับส่วนกลับของค่าสภารับไว้ได้ของแม่เหล็กของ วัสดุเฟอร์โรแมกเนติก [6]

2.3.5 วัสดุแม่เหล็กเฟอร์ริแมกเนติก

วัสดุแม่เหล็กเฟอร์ริแมกเนติก (ferrimagnetic material) เมื่อพิจารณาลักษณะของวัสดุในระดับจุลภาค จะคล้ายกับวัสดุแม่เหล็กแอนไฟฟอร์โรแมกเนติกแต่ขนาดแมกนีติชีชั้นไม่เท่ากันแต่สมบัติใน ระดับมหภาคในช่วงอุณหภูมิキュริจะใกล้เคียงกับสารแม่เหล็กเฟอร์โรแมกเนติกแต่มีค่าน้อยกว่า มีค่า ความนำไฟฟ้าต่ำเนื่องจากวัสดุเฟอร์ริแมกเนติกส่วนใหญ่เป็นสารประกอบออกไซด์ ค่าความต้านทาน จึงสูงกว่าสารเฟอร์โรแมกเนติก เมื่อนำมาใช้ทำเกนเนร์เตอร์แปลงจะให้ความสูญเสียน้อย จากรูป 2.7 แสดงความสัมพันธ์ระหว่างอุณหภูมิกับส่วนกลับของค่า susceptibility ($1/\chi$) ของวัสดุเฟอร์ริแมก เนติก แสดงลักษณะเป็นเชิงเส้นเมื่ออุณหภูมิสูงกว่าอุณหภูมิキュริคล้ายกับวัสดุพาราแมกเนติก เช่นเดียวกับวัสดุประเภทเฟอร์โรแมกเนติกแต่มีค่า susceptibility (χ) ที่ต่ำกว่าวัสดุประเภทเฟอร์โร แมกเนติก



รูปที่ 2.7 กราฟความสัมพันธ์ระหว่างอุณหภูมิกับส่วนกลับของค่าสภารับไว้ได้ของแม่เหล็กของวัสดุเฟอร์ไรเมกเนติก [6]

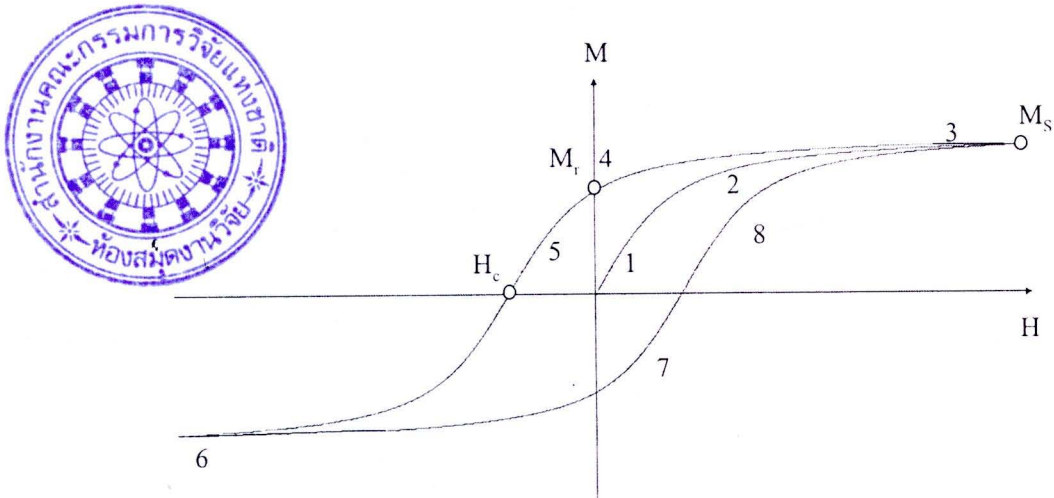
2.3.6 วัสดุแม่เหล็กซูเปอร์พารามגנטיคิ (Superparamagnetic)

วัสดุเฟอร์โรแมกเนติกจะประกอบไปด้วยโดเมนแม่เหล็กหลายโดเมนโดยที่แต่ละโดเมนถูกกันด้วยผนังโดเมน (domain wall) แต่เมื่อวัสดุเฟอร์โรแมกเนติกมีขนาดอนุภาคเล็กลงจนถึงค่าวิกฤติค่าหนึ่งจะทำให้พลังงานของผนังโดเมนมีค่าไม่มั่นคง ซึ่งจะส่งผลทำให้อุนภาคเฟอร์โรแมกเนติกทั้งอนุภาคเกิดเป็นโดเมนแม่เหล็กเดียว (single magnetic domain) ซึ่งจะทำให้เกิดสมบัติทางแม่เหล็กแบบใหม่ขึ้นมาอันคือ ปรากฏการณ์ซูเปอร์พารามגנטיคิ (superparamagnetic phenomenon) โดยอนุภาคที่มีสมบัติซูเปอร์พารามऐคิ (superparamagnetic particles) จะมีสมบัติแม่เหล็กที่ไม่มั่นคงอันเนื่องมาจากการแปรปรวนของอุณหภูมิ จากงานวิจัยที่ผ่านมาพบว่า อนุภาคซูเปอร์พารามऐคิสามารถนำไปใช้ประโยชน์มากมาย เช่น การใช้น้ำส่างยาหรือสารออกฤทธิ์ไปยังอวัยวะเป้าหมายโดยการควบคุมด้วยสนามแม่เหล็กภายนอกร่างกาย เป็นต้น

2.4 วงฮีสเตอร์เรซิส

วงฮีสเตอร์เรซิส (hysteresis loop) ของวัสดุแม่เหล็กแบบเฟอร์โรแมกเนติกและแบบเฟอร์ไรเมกเนติกเกิดจากการเปลี่ยนแปลงของค่าแม่ค่าไม่ทั้งแบบแม่เหล็กชั่วคราวหรือแม่เหล็กอ่อนและแบบแม่เหล็กถาวรหรือแม่เหล็กแข็งซึ่งจะได้กล่าวต่อไป

จากรูปที่ 2.8 เมื่อพิจารณาที่ช่วงเริ่มต้นดำเนินการที่ 1 เมื่อเพิ่มสนามแม่เหล็กบังคับจากภายนอก (H) แมกนีไടเชชันจะเพิ่มเป็นเส้นตรงมีลักษณะเปลี่ยนกลับได้ (reversible) กล่าวคือเมื่อลดสนามสนามแม่เหล็กบังคับจากภายนอกต่อจากช่วงดังกล่าวไปดำเนินการที่ 2 แมกนีไടเชชันจะเพิ่มอย่างรวดเร็วและถึงค่าแมกนีไടเชชันอิ่มตัว (M_s) ในดำเนินการที่ 3



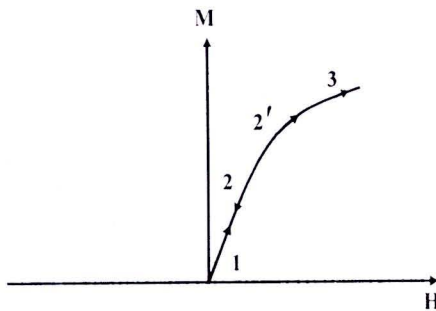
รูปที่ 2.8 วงฮีสเทอร์ริซิสของวัสดุแม่เหล็กแบบเฟอร์โรแมกнетิกและแบบเฟอร์ริแมกเนติก [7]

พิจารณาดำเนินการที่ 3 ถ้าเพิ่มสนามแม่เหล็กบังคับจากภายนอกต่อไปหลังจากช่วงนี้ค่าแมกนีไടเชชันจะไม่เพิ่มขึ้นแต่จะลดลงตามแม่เหล็กบังคับจากภายนอกกลับลงมาเป็นศูนย์ แมกนีไടเชชันจะไม่ลดลงในทิศทางเดิมเข้าสู่ค่าศูนย์แต่จะรักษาค่าหนึ่งซึ่งใกล้เคียงกับค่าอิ่มตัวในการณ์แม่เหล็กถาวรพิจารณาที่ดำเนินการที่ 3 ไปถึงดำเนินการที่ 4 สามารถดังกล่าวแสดงว่าโมเมนต์แม่เหล็กยังคงดั้วนานกันอยู่ได้แม้ว่าไม่มีสนามแม่เหล็กภายนอกบังคับ เรียกว่าความที่มีเกิดแมกนีไടเชชันในวัสดุเมื่อไม่มีสนามแม่เหล็กภายนอกบังคับนี้ว่าสภาพคงค้างแม่เหล็ก (remanence, M_r) ซึ่งจะรักษาค่าดังกล่าวอยู่ได้นานเท่าใดขึ้นอยู่กับชนิดของวัสดุ ถ้าต้องการทำลายแมกนีไടเชชันนี้จะต้องใช้สนามแม่เหล็กบังคับจากภายนอก ซึ่งมีทิศตรงข้ามกับครั้งแรก คือดำเนินการที่ 4 ถึงดำเนินการที่ 5 ค่าสนามที่ทำให้แมกนีไടเชชันเป็นศูนย์เรียกว่าค่าลบด้านสภาพแม่เหล็ก (coercivity, H_c)

พิจารณาดำเนินการที่ 5 ถึงดำเนินการที่ 6 เมื่อเพิ่มค่าของสนามในทิศตรงข้ามต่อไปแมกนีไടเชชันจะเปลี่ยนทิศ และเข้าสู่ค่าอิ่มตัวในทิศตรงข้าม เมื่อลดสนามบังคับจากภายนอกกลับลงมาเป็นศูนย์จะมีค่าคงค้างแม่เหล็กในทิศตรงข้ามคือดำเนินการที่ 6 ถึงดำเนินการที่ 7 โดยสามารถอธิบายแมกนีไടเชชันตามกฎของ Weiss ได้ดังนี้

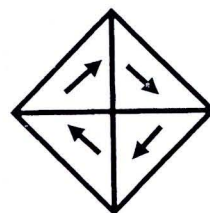
สำนักงานคณะกรรมการวิจัยแห่งชาติ
ห้องสมุดงานวิจัย
วันที่ 13 ก.ย. 2555
เลขทะเบียน..... 249559
เลขที่รับหนังสือ.....

- 1) อะตอมหรือโมเลกุลของวัสดุเพอร์โรมากเนติกมีโมเมนต์แม่เหล็กถาวรรวมเหมือนอะตอมหรือโมเลกุลของวัสดุพาราแมกเนติก แต่อันตรกิริยาระหว่างโมเมนต์แม่เหล็กของเพอร์โรมากเนติก เป็นไปอย่างแรงกว่า อันตรกิริยาที่สำคัญ คืออันตรกิริยาระหว่างโมเมนต์แม่เหล็กซึ่งเกิดจากสปิน ของอิเล็กตรอน อันตรกิริยาดังกล่าวนี้เรียกว่าอันตรกิริยาแลกเปลี่ยน
- 2) อันตรกิริยาแลกเปลี่ยน ทำให้โมเมนต์แม่เหล็กบางกลุ่มวางแผนตัวบนกันและซึ่ไปในทิศเดียวกัน กลุ่มของโมเมนต์แม่เหล็กที่ซึ่ในทิศเดียวกันเรียก แมกเนติกโดเมน (magnetic domain) แต่ละ โดเมนมีขนาดประมาณ $10^{-6} - 10^{-3}$ ลบ.ซม. และมีโมเมนต์แม่เหล็กประมาณ $10^{17} - 10^{21}$ ตัว ดังนั้น ในแต่ละ โดเมนจะมีแมกเน่ ไตเซชันอย่างถาวร (permanent magnetization) โดยไม่ต้องมี สนามแม่เหล็กภายนอกมาบังคับ สร้างที่มีแมกเน่ ไตเซชันภายนอกโดยไม่มีสนามบังคับ เรียกว่า spontaneous magnetization



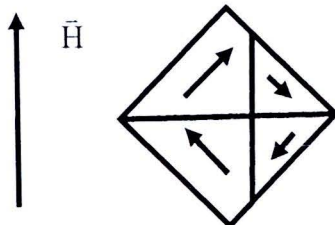
รูปที่ 2.9 ความสัมพันธ์ระหว่างค่าแมกเน่ ไตเซชันและค่าสนามแม่เหล็กภายนอกที่ตำแหน่งต่างๆ กัน [7]

รูปที่ 2.9 แสดงความสัมพันธ์ระหว่างแมกเน่ ไตเซชันและค่าสนามแม่เหล็กภายนอกที่ตำแหน่งต่างๆ กัน สามารถอธิบายได้ด้วยการพิจารณาของการขยับตัวของผนัง โดเมน (domain wall displacement) และการหมุน โดเมน (domain rotation) ดังรูปที่ 2.10 - 2.12



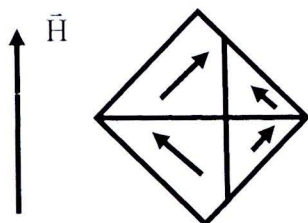
รูปที่ 2.10 การวางตัวของแมกเน่ ไตเซชันแบบสุ่มในตำแหน่งที่ 1 ในรูปที่ 2.9 [8]

จากรูปที่ 2.10 แสดงการวางแผนกเนไต์เชชันแบบสุ่มในตำแหน่งที่ 1 (ในรูปที่ 2.9) แมกเนไต์เชชันเป็นผลจากลุ่มของโคลเมน แต่ละโคลเมนจะมีการวางแผนตัวแบบสุ่ม (random) ทำให้ชิ้นวัสดุจะไม่แสดงแมกเนไต์เชชันลักษณะอ กมา



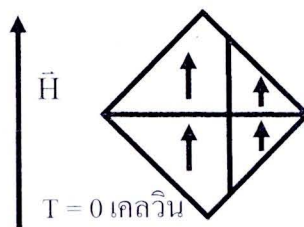
รูปที่ 2.11 การวางแผนตัวของแมกเนไต์เชชันเมื่อจ่ายสนามแม่เหล็กภายนอกในตำแหน่งที่ 1 ไปตำแหน่งที่ 2 ในรูปที่ 2.9 [8]

รูปที่ 2.11 แสดงการวางแผนตัวของแมกเนไต์เชชันเมื่อจ่ายสนามแม่เหล็กภายนอกในตำแหน่งที่ 1 ไปถึงตำแหน่งที่ 2 (ในรูปที่ 2.9) เมื่อจ่ายสนามแม่เหล็กบังคับจากภายนอกโคลเมนที่มีแมกเนไต์เชชันในทิศของสนามจะขยายตัวเพิ่มปริมาตรออกไปแทนโคลเมนที่แมกเนไต์เชชันที่สวนทางกับสนาม วัสดุจะแสดงแมกเนไต์เชชันลักษณะในทิศของสนามทำให้แมกเนไต์เชชันมีค่าสูงขึ้น ถ้าสนามแม่เหล็กภายนอกที่จ่ายให้มีค่าไม่สูงมาก เมื่อลดสนามกลับลงเป็นศูนย์โคลเมนที่ขยายตัวออกจะลดขนาดลงได้ การเคลื่อนที่ของผนังโคลเมนจึงย้อนกลับได้ (reversible)



รูปที่ 2.12 การวางแผนตัวของแมกเนไต์เชชันเมื่อจ่ายสนามแม่เหล็กภายนอกตามตำแหน่งที่ 2 ถึงตำแหน่งที่ 2' ในรูปที่ 2.9 [8]

จากรูป 2.12 แสดงการวางแผนตัวของแมกเนไต์เชชันเมื่อจ่ายสนามแม่เหล็กภายนอกตามตำแหน่งที่ 2 ถึงตำแหน่งที่ 2' (ในรูปที่ 2.9) เมื่อสนามแม่เหล็กภายนอกมีค่าสูงโคลเมนที่ขยายตัวจะไม่สามารถลดขนาดกลับลงมาได้ การเคลื่อนที่ของผนังโคลเมนย้อนกลับไม่ได้ (irreversible) การเพิ่มสนามต่อไปจะทำให้โคลเมนขยายตัวออกและแมกเนไต์เชชันเพิ่มอย่างรวดเร็ว

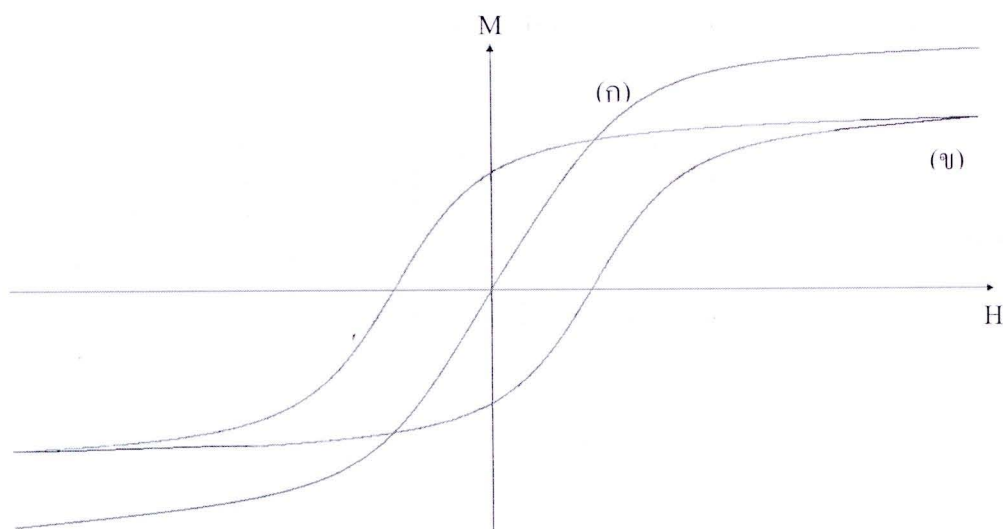


รูปที่ 2.13 การวางแผนด้วยตัวของแมกนีตอิซเซชันเมื่อจ่ายสนามแม่เหล็กภายนอกตามตำแหน่งที่ 2' ถึงตำแหน่งที่ 3 ในรูปที่ 2.9 [8]

จากรูปที่ 2.13 แสดงการวางแผนด้วยตัวของแมกนีตอิซเซชันเมื่อจ่ายสนามแม่เหล็กภายนอกตามตำแหน่งที่ 2' ถึงตำแหน่งที่ 3 (ในรูปที่ 2.9) สนามแม่เหล็กภายนอกที่จ่ายให้มีค่าสูงขึ้นจนโดยmen ไม่ขยายตัวอีกแต่จะมีการกลับด้วยตัวของโดยmen ซึ่งมีแมกนีตอิซเซชันส่วนกับสนามทำให้มีโดยmen แม่เหล็กซึ่งในทิศของสนามแมกนีตอิซเซชันในหุ่งนี้เพิ่มได้ช้าและเข้าสู่ค่าออมตัวถ้าต้องการให้แมกนีตอิซเซชันของโดยmen ทึ่งหมดซึ่งไปทิศเดียวกับสนาม เราต้องลดอุณหภูมิของวัสดุลงเพื่อลดการกระตุ้นด้วยความร้อนและการสั่นสะเทือนของโครงสร้าง

2.5 การแบ่งชนิดของวัสดุเฟอร์โรแมกнетิกและวัสดุเฟอร์ริแมกเนติก

วัสดุเฟอร์โรแมกเนติกและเฟอร์ริแมกเนติกสามารถแบ่งออกเป็น 2 ประเภทใหญ่ๆ ได้คือวัสดุแม่เหล็กชั่วคราวหรือวัสดุแม่เหล็กอ่อน (Soft magnetic materials) และวัสดุแม่เหล็กถาวรหรือวัสดุแม่เหล็กแข็ง (hard magnetic materials) รูปที่ 2.14 แสดงวงจรไฮสเทอเรซิสของวัสดุแม่เหล็ก (ก) แม่เหล็กแบบชั่วคราว สามารถประยุกต์ในอุปกรณ์อิเล็กทรอนิกส์ และ (ข) แม่เหล็กแบบถาวร เช่นพลาวัสดุแม่เหล็กถาวรชนิดต่างๆ



รูปที่ 2.14 วงจรไฮสเทอเรซิสของวัสดุแม่เหล็ก (ก) แม่เหล็กแบบชั่วคราว (ข) แม่เหล็กแบบถาวร [7]

2.5.1 วัสดุแม่เหล็กชั่วคราวหรือวัสดุแม่เหล็กแบบอ่อน

วัสดุแม่เหล็กชั่วคราวหรือวัสดุแม่เหล็กแบบอ่อน (soft magnetic material) วัสดุชนิดนี้มีค่า สภาพให้ซึมผ่านได้ ของแม่เหล็กสูง สามารถมีสภาพแม่เหล็กและหมดสภาพแม่เหล็กได้ง่าย มีค่าสภาพลบล้างแม่เหล็กต่ำประมาณ 10^{-2} - 1 A/m ในวัสดุ เช่น นีโอไดเมนจะต้องเคลื่อนที่ได้ง่ายและเปลี่ยนกลับได้ ง่ายเพื่อให้แมกเน่ไดเซชันเปลี่ยนไดรวดเร็วตามสนามแม่เหล็กบังคับจากภายนอก โครงสร้างของวัสดุ จึงต้องไม่มีจุดขัดขวางหรือสิ่งขัดขวางการเคลื่อนที่ของผนังโดยmen ตัวอย่างของวัสดุแม่เหล็กอ่อน ไดแก่ อุปกรณ์อิเล็กทรอนิกส์ชนิดต่างๆ

2.5.2 วัสดุแม่เหล็กถาวรหรือวัสดุแม่เหล็กแบบแข็ง

วัสดุแม่เหล็กถาวรหรือวัสดุแม่เหล็กแบบแข็ง (hard magnetic material) วัสดุนี้มีค่าสภาพให้ซึมผ่านได้ (permeability) ของแม่เหล็กต่ำ ทำให้มีสภาพแม่เหล็กและหมดสภาพแม่เหล็กได้ยาก มีสภาพลบล้างแม่เหล็กสูงกว่าวัสดุแม่เหล็กชั่วคราวหนึ่นหรือแทนเท่า ผนังโดยmen ของวัสดุนี้เคลื่อนที่ได้ยาก เนื่องจากมีจุดขัดขวาง วัสดุ เช่น นีโอไดแม่เหล็กถาวร วัสดุแม่เหล็กแข็งไดแก่ แม่เหล็กถาวรชนิดต่างๆ

2.6 วัสดุเฟอร์ไรท์

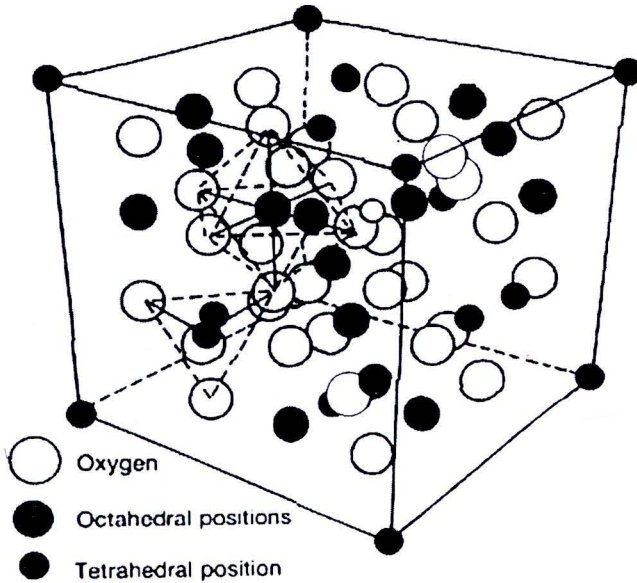
เฟอร์ไรท์เป็นวัสดุที่ได้รับความสนใจอย่างกว้างขวางเนื่องจากสามารถปรับเปลี่ยนค่าทางแม่เหล็กของวัสดุเฟอร์ไรท์ให้มีคุณสมบัติตามงานที่ต้องการใช้ เช่น งานวิจัยนี้ที่สังเคราะห์สารสตรอนเทียมเชก อะเฟอร์ไรท์ซึ่งเป็นเฟอร์ไรท์ชนิดแข็งหรือถาวร โครงสร้างของวัสดุที่มีสมบัติทางแม่เหล็กของสารเฟอร์ไรท์ มี 3 รูปแบบ

2.6.1 สปินเนลเฟอร์ไรท์

สปินเนลเฟอร์ไรท์ (spinel ferrites) เป็นกลุ่มใหญ่ที่สุดในพวกเฟอร์ริแมกเนติกออกไซด์ มีทั้ง สปินเนลแบบปกติ (normal spinel) และสปินเนลแบบกลับทิศทาง (inverse spinel) วัสดุที่เป็นแม่เหล็กโดยมากจะเป็นแบบสปินเนลแบบกลับทิศทาง มีสูตรทั่วไปคือ AB_2O_4 เช่น ZnFe_2O_4 มีรูปร่างเป็นแบบลูกบาศก์

- 1) สปินเนลแบบปกติ ประจุ $2+$ ทั้งหมดจะอยู่ในตำแหน่งของเตตราหีดรอด (tetrahedral site) และประจุ $3+$ ทั้งหมดจะอยู่ในตำแหน่งของออก tahedral site)
- 2) สปินเนลแบบกลับทิศทาง ประจุ $3+$ ครึ่งหนึ่งในทั้งหมดจะอยู่ในตำแหน่งของเตตราหีดรอด และประจุ $3+$ อีกครึ่งหนึ่ง จะไปรวมกับประจุ $2+$ ทั้งหมดบรรจุอยู่ในตำแหน่งของออก tahedral site โดย

การกระจายของประจุ $2+$ ระหว่างเตต拉หีดรอยด์และออกต้าหีดรอยด์จะขึ้นอยู่กับการเลือกอยู่ของประจุ (preference)

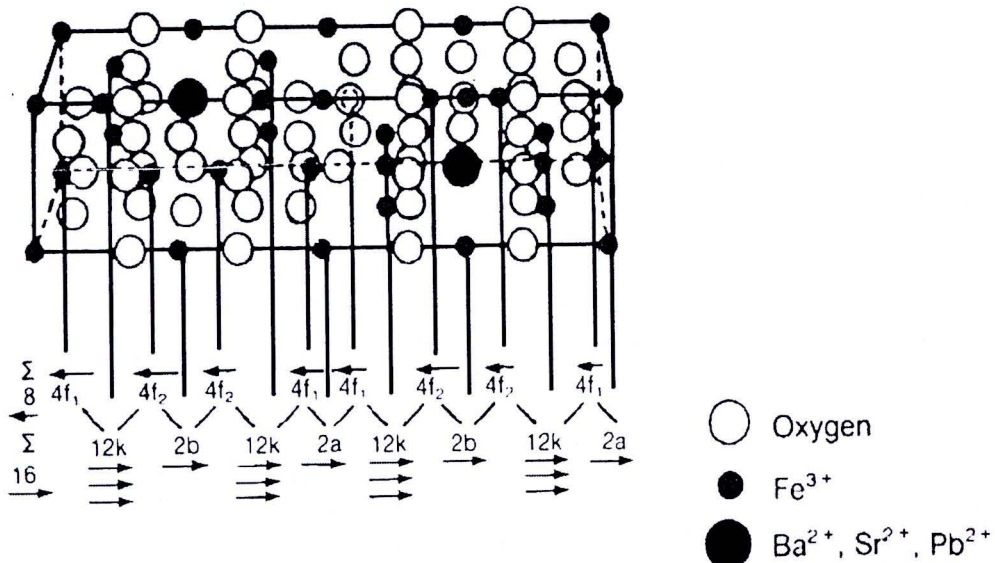


รูปที่ 2.15 โครงสร้างแบบสปีเนล [9]

รูปที่ 2.15 แสดงโครงสร้างแบบสปีเนลโดยตำแหน่งของกลุ่มสีขาวแทนการบรรจุของออกซิเจน วงกลมสีแดงแทนตำแหน่งอะตอมที่บรรจุในออกต้าหีดรอยด์ และวงกลมสีน้ำเงินแทนการบรรจุในตำแหน่งของเตต拉หีดรอยด์

2.6.2 เอกซ์ไกโนอลเฟอร์ไรท์

เอกซ์ไกโนอลเฟอร์ไรท์ (hexagonal ferrites) ส่วนใหญ่จะเป็นวัสดุจำพวก magnetoplumbite เป็นตัวสำคัญ วัสดุจำพวก magnetoplumbite หรือ M-type hexagonal ferrites สูตรทั่วไปคือ $\text{MeFe}_{12}\text{O}_{19}$ โดย Me โดยส่วนมากคือ Ba^{2+} , Sr^{2+} หรือ Pb^{2+} โดยตำแหน่งของ "ไอออนของประจุ $2+$ " และ "ไอออนของประจุ $3+$ " จะมีการแทนที่ของ "ไอออนของ Fe^{3+} " ภายในโครงสร้าง จากรูปที่ 2.16 แสดงโครงสร้างแบบเอกซ์ไกโนอลโดยตำแหน่งของกลุ่มสีขาวแทนการบรรจุของ "ไอออนของออกซิเจน" วงกลมสีแดงแทนตำแหน่งของ "ไอ้อนของ Fe^{3+} " และวงกลมสีน้ำเงินแทนการบรรจุ "ไอ้อนของ Ba^{2+} , Sr^{2+} หรือ Pb^{2+}



รูปที่ 2.16 โครงสร้างแบบเซกชั่น ก้อนอล [9]

วัสดุแม่เหล็กสตอรอนเทียมเซกชั่นเฟอร์ไรท์มีสูตรทางเคมี $\text{SrFe}_{12}\text{O}_{19}$ มีโครงสร้างเป็นแบบเซกชั่น ก้อนอลเป็นเพอร์วิเมกานิดิกมี $S=5/2$ สำหรับทุกๆ ไอออนของเหล็กในปีค.ศ. 1950 Gorter ทำงานบ่งว่า ไอออนของเหล็กที่มีโครงสร้างไตร ก้อนอล ใบปีรามิดอล (trigonal bipiramidal) ที่ตำแหน่ง 2b และออกตะหีดรอล (octahedral) ที่ตำแหน่ง 2a, 12k มีการวางตัวของสpin นานกันและมีพิส ทางตรงข้ามกับ ไอออนของเหล็กที่ตำแหน่ง $4f_1$ และ $4f_2$ มี space group เป็น $P63/mmc$ แล้วที่ช พารามิเตอร์ $a = 0.58836$ นาโนเมตร และ $c = 2.30376$ นาโนเมตร ที่อุณหภูมิห้อง โครงสร้างจะเป็น สองรูปแบบในหนึ่งหน่วยเซลล์ (unit cell) ไอออนของสตอรอนเทียม (Sr) และ ไอออนของเหล็ก (Fe) จะ จับกับ ไอออนของออกซิเจนในแต่ละ closed pack ออกซิเจนมีลักษณะเป็นชั้นๆ โดยมีทั้งหมด 10 ชั้น ตามแนวแกน c ส่วนในผลึกจะมี ไอออนของเหล็กที่ถูกวางอยู่ในโครงสร้าง 3 โครงสร้าง คือตetrash ครอต (tetrahedral), (FeO_4) ที่ตำแหน่ง $4f_1$ ไตร ก้อนอล ใบปีรามิดอล (trigonal bipiramidal), (FeO_5) ที่ ตำแหน่ง 2b และออกตะหีดรอล (octahedral), (FeO_6) ที่ตำแหน่ง 2a, 12k และ $4f_2$

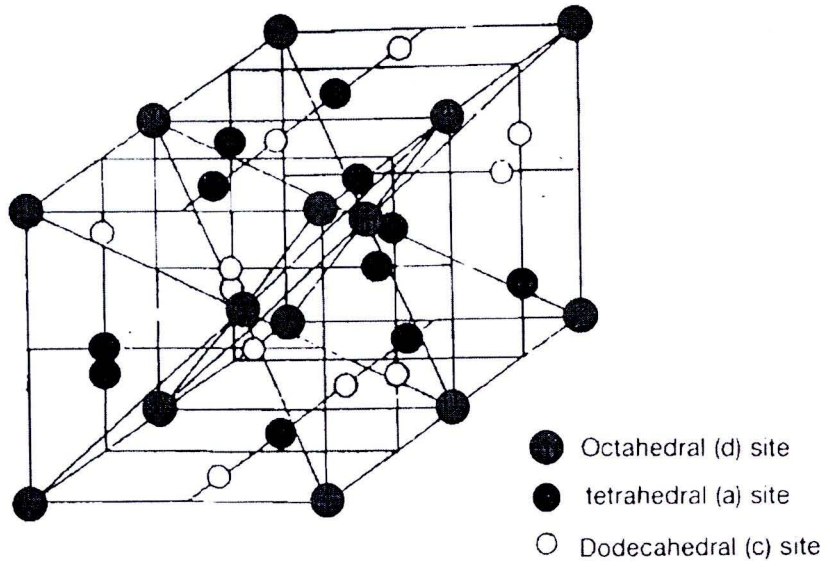
ตารางที่ 2.2 ตำแหน่งของอะตอมและผลการคำนวณสำหรับวัสดุแม่เหล็กสตรอนเทียมເ夷ມເອກະເພົ່ວໄຣທ໌ ($\text{SrFe}_{12}\text{O}_{19}$) ของรูปแบบของ Gorter เมื่อมี space group เป็น $\text{P}63/\text{mmc}$ ແລ້ວທີສພາຮາມືເຕອ່ງ $a = 0.58836$ ນາໂນເມຕຣ ແລະ $c = 2.30376$ ນາໂນເມຕຣ [5]

อะตอม	ตำแหน่ง ໃອອນของ อะตอม	สมมาตร	ตำแหน่ง อะตอม	ระยะห่าง ระหว่างอะตอม (ນາໂນເມຕຣ)	ประຈູ (ອີເລັກຕຽນ)	ໂນມັນຕີ ແມ່ເຫຼັກ (μ_{B})
Sr	2d	$\bar{6}\text{m}2$	$1/3, 2/3, 0.75$	0.19	+0.44	0
Fe(1)	2a	$\bar{3}\text{m}$	0, 0, 0	0.09	+2.65	4.11
Fe(2)	2b	$\bar{6}\text{m}$	0, 0, $1/4$	0.09	+2.83	3.95
Fe(3)	$4f_1$	3m	$1/3, 2/3,$ 0.02718	0.09	+3.09	-3.88
Fe(4)	$4f_2$	3m	$1/3, 2/3,$ 0.19091	0.09	+2.86	-3.79
Fe(5)	12k	m	0.16886, 0.33772, 0.89083	0.09	+2.78	4.06
O(1)	4e	3m	0, 0, 0.1514	0.14	-1.84	0.39
O(2)	4f	3m	0, 0, 0.9446	0.14	-1.48	0.09
O(3)	6h	mm	0.1819, 0.3639, $1/4$	0.14	-1.50	0.07
O(4)	12k	m	0.1564, 0.3127, 0.05252	0.14	-1.75	0.13
O(5)	12k	m	0.5039, 0.0078, 0.15092	0.14	-1.862	0.23
V(1) ^a	6g	$2/\text{m}$	$1/2, 0, 0$	0.11	-0.60	-0.07
V(2) ^a	4f	3m	$1/3, 2/3, 0.0993$	0.11	-0.54	-0.08
V(3) ^a	4f	3m	$1/3, 2/3, 0.6294$	0.06	-0.15	0
รวม					0	40

^a ໜາຍເຫດ V ເປັນຕຳແໜ່ງທີ່ໄມ່ມີໃອອນ

2.6.3 การเนท

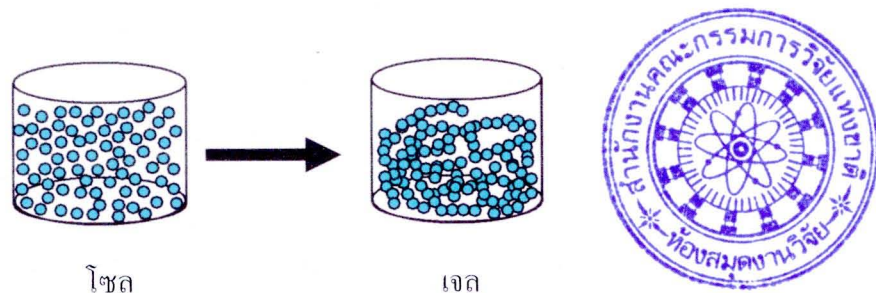
การเนท (garnets) เป็นโครงสร้างทางแม่เหล็กที่มีความซับซ้อนที่สุด สูตรทั่วไปคือ $N_3Fe_5O_{12}$ โดย N แทนไอออนของประจุ 3+ ของแร่อิร์ท (trivalent rare-earth) รวมทั้งยิทรีียม (Yttrium) และแอลานทานัม (Lanthanum) มี การแทนที่ตำแหน่ง (interstitial sites) 3 ชนิด ก็มาจาการรวมตัวของโครงสร้างคิวบิก (cubic packing) ของไอออน 2- ของออกซิเจน ไอออนของประจุ 5+ (ferric ions) บรรจุในตำแหน่งออกตะหีดรอต (octahedral sites) และเตตราหีดรอต (tetrahedral sites) ไอออนของประจุ 3+ ของ แร่อิร์ท (trivalent rare-earth) บรรจุในดีเดกกะหีดรอต (dodecahederal sites) จากรูป 2.17 แสดงโครงสร้างแบบการเนท ตำแหน่งของกลมสีแดงແນกการบรรจุในตำแหน่งของออกตะหีดรอต วงกลมสีน้ำเงินແນกตำแหน่งบรรจุในตำแหน่งของเตตราหีดรอต และวงกลมสีขาวແນกการบรรจุในตำแหน่งดีเดกกะหีดรอต



รูปที่ 2.17 โครงสร้างแบบการเนท [9]

2.7 กระบวนการโซลเจล

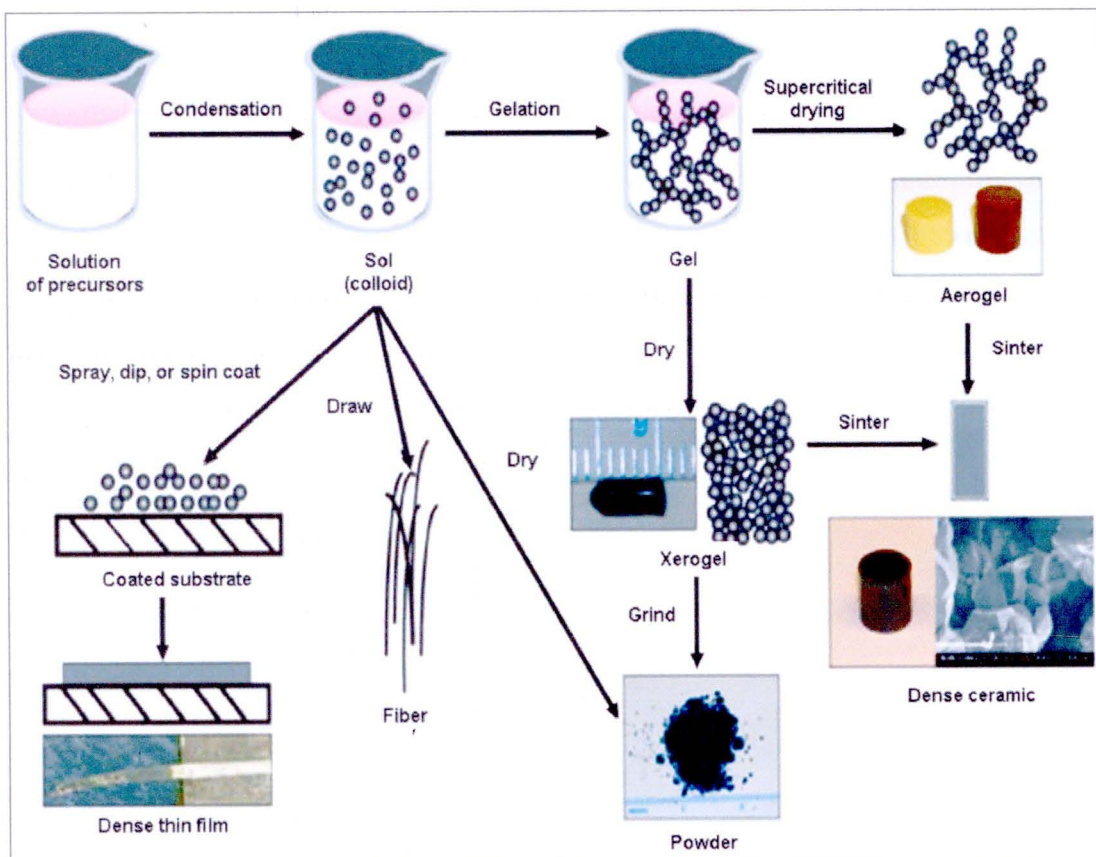
กระบวนการโซลเจล (sol-gel processing) เป็นกระบวนการที่มีประโยชน์อย่างมากในการผลิตเซรามิก แก้ว พลาสติก ฟิล์ม เส้นใย และวัสดุก้อน ซึ่งสารตั้งต้นที่ใช้ในการผลิตจะแตกต่างกันออกไป จากรูปที่ 2.18 แสดงสารละลายเปลี่ยนสถานะจากโซลเป็นเจล ดังนั้นกระบวนการโซลเจลเป็นกระบวนการเปลี่ยนสถานะจากของเหลวที่เรียกว่าโซล (sol) ให้เป็นเจล (gel) ที่อยู่ในรูปสสารแอนดอลอย



รูปที่ 2.18 สารละลายเปลี่ยนสถานะจากโซลเปลี่ยนเป็นเจล [10]

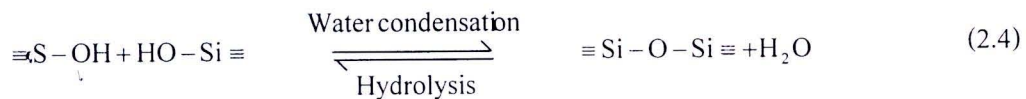
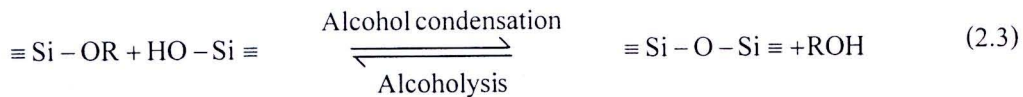
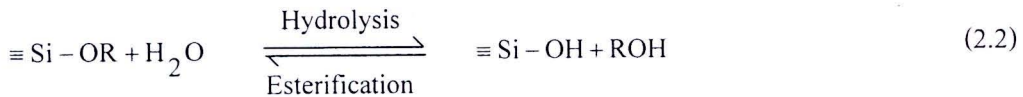
ปัจจัยที่มีผลต่อปฏิริยาการเกิดโซลเจล

ปัจจัยสำคัญที่มีผลต่ออัตราการเกิดปฏิริยา คือ ค่าความเป็นกรด-ด่าง (pH) อุณหภูมิ ระยะเวลาการเกิดปฏิริยา ความเข้มข้นของสารตั้งต้น ตัวเร่งปฏิริยา อัตราส่วน โดยมวลของน้ำต่อสารตั้งต้นและระยะเวลาการเกิดเจล ดังนั้นการควบคุมปัจจัยเหล่านี้ในสภาวะต่างกันจะทำให้ได้โซลและเจลที่มีสมบัติที่แตกต่างกัน ปฏิริยาที่สำคัญในการเกิดโซล เจล ได้แก่ ไฮdro ไลซิส (hydrolysis) การความแน่นแอลกอฮอล์ (alcohol condensation) และ การความแน่นน้ำ (water condensation)



รูปที่ 2.19 กระบวนการโซลเจล [10]

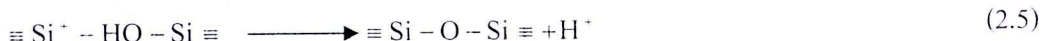
รูปที่ 2.19 แสดงกระบวนการโซลเจล สารละลายเปลี่ยนจากโซลเป็นเจล เมื่อทำให้แห้งจะได้ผลิตภัณฑ์ในรูปแบบต่างๆ เช่น เส้นใย แอโรเจล ซีโรเจล ผงละเอียดและฟิล์มบาง เป็นวัสดุคุณภาพที่จะนำไปใช้ขึ้นรูปเป็นผลิตภัณฑ์ต่างๆ ปฏิกิริยาที่สำคัญได้แก่



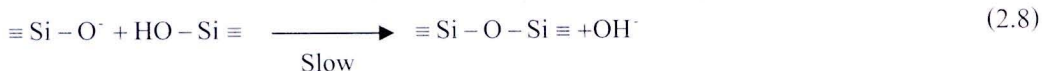
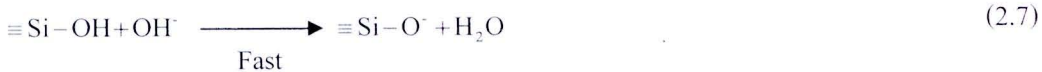
เมื่อ R คือ หมู่แอลกิล (alkyl: $\text{C}_x\text{H}_{2x+1}$)

สมการที่ (2.2) เป็นปฏิกิริยา ไฮโดร ไลซิส จ้มีการแทนที่หมู่แอลกอโอล (OR) ด้วยหมู่ไฮดรอกซิล (OH) หลังจากนั้นจะเกิดปฏิกิริยาความแน่นเกิดเป็นพันธะกันแอลกอฮอล์ (ROH) ดังสมการที่ (2.3) โดยปกติปฏิกิริยาความแน่น สมการที่ (2.3) และ (2.4) จะเกิดก่อนปฏิกิริยา ไฮโดร ไลซิส เนื่องจากน้ำ และหมู่แอลกอโอลไม่ละลายซึ่งกันและกันจึงต้องใช้ตัวทำละลายพวกแอลกอฮอล์เพื่อให้สามารถละลายเข้ากันได้ แต่อย่างไรก็ตามสามารถเตรียมได้โดยไม่มีแอลกอฮอล์เนื่องจากเมื่อปฏิกิริยา ไฮโดร ไลซิสเกิดขึ้นจะเกิดแอลกอฮอล์ขึ้นด้วย การแบ่งช่วง pH ในการเกิดปฏิกิริยาออกเป็น 3 ช่วง ได้แก่ pH น้อยกว่า 2 pH 2-7 และ pH มากกว่า 7

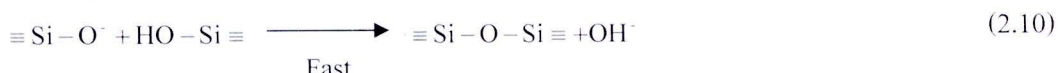
- 1) pH น้อยกว่า 2 แสดงดังสมการ (2.5) และ pH เท่ากับ 2 แสดงดังสมการ (2.6) สภาวะดังกล่าวเป็นช่วงที่ไม่ค่อยเสถียรทำให้ระยะเวลาการเกิดเจลนาน ที่ pH น้อยกว่า 2 อัตราการเกิดปฏิกิริยาขึ้นอยู่กับ H^+ แสดงถึงการเกิดเจลดังสมการ



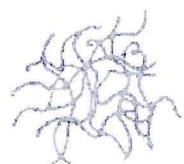
2) pH 2-7 เป็นช่วงที่อัตราการควบแน่นขึ้นอยู่กับหน่วย OH⁻ กลไกการเกิดแสดงดังสมการ (2.7) และ (2.8) อนุภาคของโซล (sol) จะรวมตัวกันเป็นกลุ่ม (cluster) ซึ่งจะเกิดปฏิกิริยาอย่างรวดเร็ว ก่อนจะ เชื่อมต่อเป็นโครงสร้างแล้วเกิดเป็นเจลซึ่งปฏิกิริยาจะเกิดได้ช้า



3) pH มากกว่า 7 กลไกการเกิดเจลแสดงดังสมการ (2.9) และ (2.10) pH มากกว่า 7 เหมือนกับ pH ช่วง 2-7 แต่อนุภาคมีการแตกตัวทำให้เกิดประจุทำให้มีแรงผลักระหว่างกัน ส่งผลให้เกิดปฏิกิริยา ได้ช้า อนุภาคของโซล (sol) จะรวมตัวกันมีขนาดใหญ่มาก เกิดภาวะที่รวมตัวกันจนทำให้ ตกตะกอน (aggregation)



อนุภาคของโซล (sol) จะเกิดเป็นเจลด้วยการเชื่อมต่อเป็นโครงสร้าง สามารถแบ่งขั้นตอนการเกิดโซล-เจล โพลิเมอร์ไรซ์ชัน (sol-gel polymerization) ออกเป็น 3 กระบวนการหลักๆ ได้แก่ การ เกิดปฏิกิริยาโพลิเมอร์ไรซ์ชันกับอุณหภูมิ การเติบโตของอนุภาค และอนุภาคเชื่อมต่อ โครงสร้าง เป็นสายโซ่แล้วเปลี่ยนเป็นเจล จากขั้นตอนที่ก่อลำมาข้างต้น พนิชจัยมากมายที่ส่งผลกระทบต่อ โครงสร้างของโซล เช่น pH อุณหภูมิ ระยะเวลาการเกิดปฏิกิริยา ความเข้มข้นของสารตั้งต้น ตัวเร่งปฏิกิริยา อัตราส่วน โคลิมอลของน้ำต่อสารตั้งต้น จากรูปที่ 2.20 แสดงการเกิดเจล (ก) ลักษณะของ โครงสร้างโซลที่เตรียมภายใต้สภาพกรด อนุภาคของโซล (sol) จะเชื่อมกันเป็นโครงร่างตั้งแต่แรก โดยไม่เกิดการรวมตัวระหว่างกันก่อน และ (ข) ภายใต้สภาพเบสอนุภาคโซลจะรวมเป็นกลุ่มก่อนที่ จะเชื่อมต่อเป็นโครงร่าง



(ก)



(ข)

รูปที่ 2.20 การเกิดเจล (ก) การเกิดเจลในกรด และ (ข) การเกิดเจลในเบส [12]

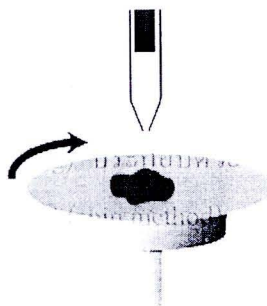
เทคโนโลยีโอลิจเจลจะเป็นประโยชน์อย่างยิ่งในการผลิตสารหรือวัสดุที่มีลักษณะเฉพาะตัวหรือต้องการความบริสุทธิ์สูง เนื่องจากเป็นการเตรียมในระดับโมเลกุล ทำให้สามารถกำหนดสมบัติต่างๆ ที่ต้องการได้ง่ายนับเป็นประโยชน์ต่ออุตสาหกรรมหลายประเภท อย่างไรก็ตามแนวโน้มการนำเทคโนโลยีโอลิจเจลมาใช้ประโยชน์ในเชิงพาณิชย์มีความเป็นไปได้สูงเนื่องจากการกระบวนการโอลิจเจลเป็นเทคโนโลยีในการผลิต ซึ่งทำได้ที่อุณหภูมิห้อง และสามารถทำได้ตั้งแต่ระดับห้องปฏิบัติการจนถึงระดับอุตสาหกรรมซึ่งตอบสนองต่อความต้องการของผู้บริโภคได้จริง

2.8 การเคลือบด้วยการหมุน

การเคลือบด้วยการหมุน (spin coating) ประกอบด้วยปัจจัยการเคลือบด้วยการหมุน (spin coating factors) และวิธีการเคลือบด้วยการหมุน (spin method)

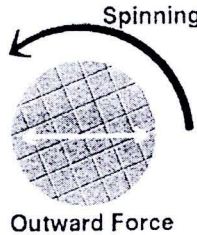
2.8.1 ปัจจัยการเคลือบด้วยการหมุน

ปัจจัยการเคลือบด้วยการหมุน (spin coating factors) อาศัยหลักการ คือหลักการลดแรงที่ต้องการทำพิล์มน้ำลงบนบริเวณจุดศูนย์กลางของวัสดุรองรับที่หมุนด้วยความเร็วรอบค่าหนึ่ง ดังรูปที่ 2.21 ที่แสดงการหยดสารละลายลงบนวัสดุรองรับบนเครื่อง



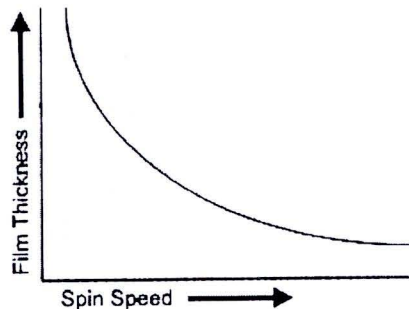
รูปที่ 2.21 การหยดสารละลายลงบนวัสดุรองรับบนเครื่องเคลือบด้วยการหมุน [13]

ความเร่งเข้าสู่ศูนย์กลาง (centripetal acceleration) จากการที่วัสดุรองรับที่หมุนนั้น เป็นปัจจัยที่ทำให้หยดของเหลวเกิดการแผ่ออกตามทิศทางของแรงสู่ศูนย์กลางจนทั่วทั้งแผ่นของวัสดุรองรับดังรูปที่ 2.22 แสดงทิศทางการแผ่ของหยดของเหลวเมื่อยอดลงบนวัสดุรองรับขณะกำลังหมุน

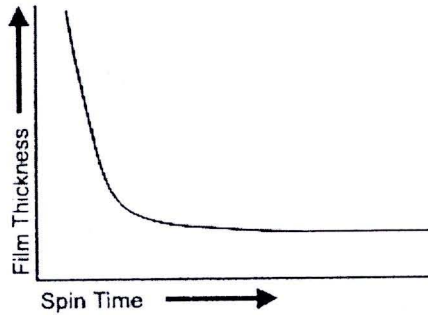


รูปที่ 2.22 ทิศทางการแผ่ของหยดของเหลวเมื่อหยดลงบนวัสดุรองรับขณะกำลังหมุน [13]

เมื่อสารละลายแห้ง จะได้ฟิล์มตามต้องการ แต่ถ้าพิจารณาอย่างละเอียดแล้ว พบว่าการทำฟิล์ม ด้วยวิธีนี้ มีปัจจัยที่เกี่ยวข้องอยู่หลายประการ ซึ่งมีทั้งปัจจัยเกี่ยวกับ สมบัติของสารละลายที่ต้องการทำฟิล์ม ได้แก่ ความหนืด (viscosity) อัตราการแห้ง (drying rate) ความหนาแน่น (density) ความเข้มข้น (concentration) ความตึงผิว (surface tension) เป็นต้น อีกทั้งยังมีปัจจัยจากแผ่นวัสดุรองรับ เช่น ความสามารถในการเปียก (wetting ability) นอกจากนี้ ความเร็วของ spin speed) เวลาที่ใช้ในการหมุน (spin time) ล้วนมีผลต่อความหนาและคุณภาพของฟิล์มที่ได้ทั้งสิ้น แต่สิ่งที่สำคัญที่สุดในการทำฟิล์มนางนี้ก็คือต้องสามารถทำชำได้โดยที่ความหนาของฟิล์มต้องอยู่ในความคลาดเคลื่อนที่ไม่มากเกินไป (ประมาณ $\pm 10\%$) ซึ่งกรณีความแน่นอนในการกำหนดความเร็วในการหมุนของเครื่องเคลือบด้วยการหมุนนั้นมีความสำคัญอย่างมาก โดยที่ความเร็วสูง ($> 1500 \text{ rpm}$) นั้นความคลาดเคลื่อนของความเร็วไม่ควรเกิน $\pm 5 \text{ rpm}$ ส่วนที่ความเร็วต่ำ (ประมาณ 500 rpm) ความคลาดเคลื่อนของความเร็วไม่ควรมากกว่า $\pm 5 \text{ rpm}$ จากรูปที่ 2.23 และ รูปที่ 2.24 ถ้าใช้ความเร็วในการหมุนสูงและใช้เวลาในการหมุนนานนั้น (เช่น 8000 rpm 60 วินาที) ย่อมได้ฟิล์มที่บางกว่าใช้ความเร็วในการหมุนต่ำและใช้เวลาหมุนสั้น (เช่น 500 rpm 10 วินาที)

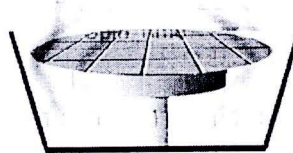


รูปที่ 2.23 กราฟแสดงความสัมพันธ์ระหว่างความหนาของฟิล์มกับความเร็วในการหมุนของเครื่องเคลือบด้วยการหมุน [13]



รูปที่ 2.24 กราฟแสดงความสัมพันธ์ระหว่างความหนาของฟิล์มกับเวลาที่ใช้ในการหมุนของเครื่องเคลือบด้วยการหมุน [13]

นอกจากนี้ยังมีอีกขั้นตอนที่สำคัญคือขั้นตอนในการทำให้ฟิล์มแห้ง (drying step) จากรูปที่ 2.25 แสดงการให้ความร้อนในขณะทำการเคลือบเพื่อเร่งการระเหยของสารละลาย โดยการให้ความร้อนเข้าไปเร่งการระเหยของตัวทำละลายให้ออกไปเร็วขึ้นในขณะที่ทำการสปินเพื่อให้ฟิล์มพร้อมใช้งานได้ทันที



รูปที่ 2.25 การให้ความร้อนในขณะทำการเคลือบเพื่อเร่งการระเหยของสารละลายบนเครื่องเคลือบด้วยการหมุน [13]

หลังจากผ่านขั้นตอนในการหมุนแล้วบางครั้งฟิล์มนั้นยังไม่แห้งเมื่อนำมาใช้งานจึงอาจเกิดปัญหาได้ เช่น ฟิล์มหลุดออกออกจากวัสดุรองรับหรือความหนาของฟิล์มไม่สม่ำเสมอ ซึ่งปัญหานี้มักพบในกรณีที่ใช้ความเร็วในการหมุนสูง (ประมาณ 1500 ถึง 6000 rpm) แต่ถ้าใช้ความเร็วในการหมุนต่ำ (ประมาณ 500 rpm) และใช้เวลาในการหมุนนานมากพ่อเราอาจจะได้ฟิล์มที่แห้งโดยที่ความหนาของฟิล์มเริ่มเข้าสู่ค่าคงที่และแผ่นฟิล์มที่ได้ยังมีความคลาดเคลื่อนของความหนาอยามากประมาณ $\pm 10\%$ เนื่องจากอัตราการแห้งของสารละลายในระหว่างกระบวนการเคลือบนั้นขึ้นอยู่กับธรรมชาติของตัวทำละลายที่ใช้ซึ่งจะมีค่าแตกต่างกันไปตามชนิดของสารที่เป็นตัวทำละลายและอัตราการแห้งนั้นยังขึ้นอยู่กับสภาพแวดล้อมภายนอกด้วย เช่น อุณหภูมิ ความชื้นอากาศ เป็นต้น ซึ่งก็ล้วนเป็นสิ่งที่ละเอียดไม่ได้ เช่นกัน การลดปัญหาจากการนี้ก็คือต้องทำฝาปิดที่ไม่ให้อากาศจากภายนอกเข้าไปได้และมีส่วนที่ควบคุมอุณหภูมิและความชื้นภายในภาชนะจะทำให้การเคลือบก็จะช่วยให้ฟิล์มที่ได้นั้นมีคุณภาพและได้มาตรฐานมากยิ่งขึ้น

2.8.2 วิธีการเคลือบด้วยการหมุน

สำหรับวิธีในการทำแผ่นฟิล์มบางด้วยการเคลือบแบบหมุน (spin coating) มี 2 วิธีคือ static dispense และ dynamic dispense

2.8.2.1 Static dispense

Static dispense เป็นวิธีการในการเคลือบด้วยการหมุนโดยใช้ความเร็วในการหมุนสูง (ประมาณ 1500 ถึง 6000 rpm) เหมาะสำหรับสารละลายที่มีความหนืดมาก หรือแผ่นวัสดุรองรับที่มีขนาดใหญ่ ซึ่งต้องใช้สารละลายปริมาณมากเพื่อทำฟิล์มบาง เนื่องจากแรงเหวี่ยง ที่เกิดขึ้นกับสารละลายมีมาก ทำให้สารละลายส่วนใหญ่หลุดออกนอกแผ่นวัสดุรองรับไป ซึ่งปริมาตรสารละลายที่ต้องใช้อาจอยู่ในช่วง 1 ถึง 10 ซีซี ขึ้นอยู่กับพื้นที่ของผิววัสดุรองรับและความเร็วในการหมุน

2.8.2.2 Dynamic dispense

Dynamic dispense เป็นวิธีในการทำการเคลือบด้วยการหมุนโดยใช้ความเร็วต่ำ (ประมาณ 500 rpm) ซึ่งเหมาะสมกับสารละลายที่มีความหนืดน้อยถึงปานกลาง และวิธีนี้ยังช่วยประหยัดสารละลามากกว่า วิธี static dispense อีกด้วย และข้อดีอีกประการหนึ่งคือวิธีการนี้สามารถทำฟิล์มบนผิววัสดุรองรับที่มีความสามารถเปียกได้น้อย (poor wetting ability) ซึ่งเกิดจากการที่แรงหนึดในของเหลว (cohesive force) มีค่ามากกว่าแรงขึ้นตัว (adhesive force) ระหว่างสารละลายกับวัสดุรองรับและการใช้ความเร็วต่ำในการเคลือบด้วยการหมุนนั้นยังช่วยให้ความหนาของฟิล์มที่ได้มีค่าสม่ำเสมอ

2.9 การเคลือบด้วยการจุ่มเคลือบ

การเคลือบด้วยการจุ่มเคลือบ (dip coating) แบ่งออกเป็น 2 แบบด้วยกันคือ การเคลือบด้วยการจุ่มเคลือบแบบกะ (batch dip coating) และ การเคลือบด้วยการจุ่มเคลือบแบบต่อเนื่อง (continuous dip coating)

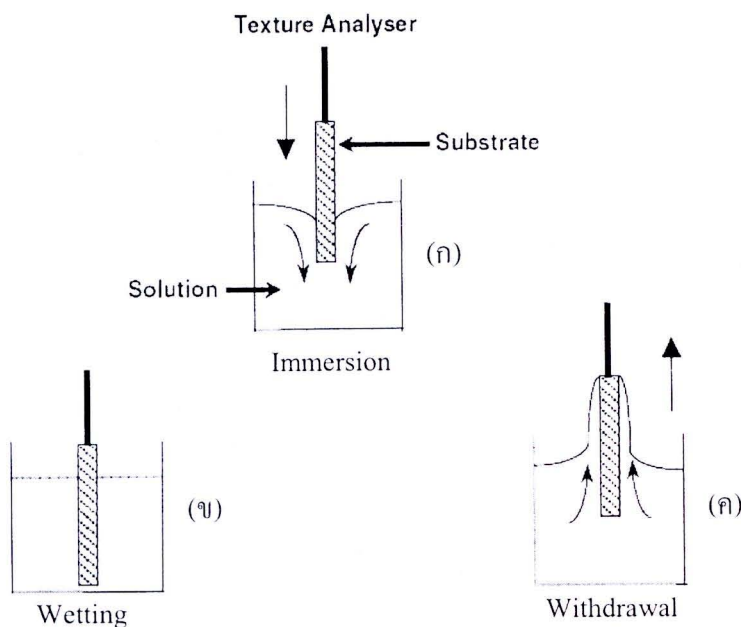
2.9.1 การเคลือบด้วยการจุ่มเคลือบแบบกะ

การเคลือบฟิล์มด้วยการจุ่มเคลือบแบบกะ (batch dip coating) สามารถแบ่งขั้นตอนออกเป็น 3 ขั้นตอนหลักดังแสดงในรูป 2.26 ที่แสดงกระบวนการจุ่มเคลือบแบบกะ (ก) Immersion, (ข) Wetting และ (ค) Withdrawal

(ก) ขั้นตอนการจุ่มชิ้นงานหรือวัสดุรองรับลงในสารละลายโซลเจลที่เตรียมไว้

- (ข) ขั้นตอนการเคลือบติดของสารละลายโดยเจลกับชิ้นงานหรือวัสดุรองรับ
 (ค) ขั้นตอนการดึงชิ้นงานหรือวัสดุรองรับขึ้นจากสารละลายโดยเจล สารละลายที่เกาะผิวชิ้นงานเริ่มไหลข้อนกลับสารละลายจะไหลแยกออกจากชิ้นงานหรือวัสดุรองรับและมีการระเหยสารสำหรับสารที่ระเหยง่าย เช่น แอลกอฮอล์

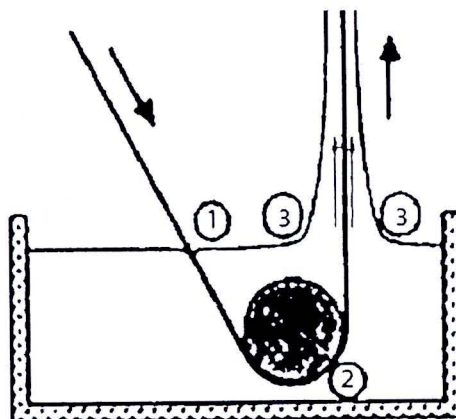
จากรูปที่ 2.26 แสดงการจุ่มเคลือบแบบกะที่แบ่งเป็น 3 ขั้นตอนคือ (ก) ขั้นตอนการจุ่มชิ้นงาน (immersion), (ข) ขั้นตอนการเคลือบติดของสารละลายโดยเจลกับชิ้นงาน (wetting) และ (ค) ขั้นตอนการดึงชิ้นงาน (withdrawal)



รูปที่ 2.26 กระบวนการจุ่มเคลือบแบบกะ (ก) Immersion, (ข) Wetting และ (ค) Withdrawal [14]

2.9.2 การเคลือบด้วยการจุ่มเคลือบแบบต่อเนื่อง

การเคลือบด้วยการจุ่มเคลือบแบบต่อเนื่อง (continuous dip coating) แสดงดังรูปที่ 2.27 เริ่มต้นที่ช่วงที่ 1 จุ่มชิ้นงานลงสารละลาย ช่วงที่ 2 ชิ้นงานจะถูกดึงผ่านสารละลาย ในช่วงที่ 3 ฟิล์มถูกเคลือบบนชิ้นงานและติดไปกับชิ้นงาน การเคลือบด้วยการจุ่มเคลือบแบบต่อเนื่องแตกต่างจากการจุ่มเคลือบแบบกะ เนื่องจากไม่มีกระบวนการแยกขั้นตอนในรูปที่ 2.26 (ข) และ (ค) ของการจุ่มเคลือบแบบกะ ออกจากกัน เมื่อชิ้นงานถูกดึงผ่านสารละลายจะทำให้เกิดฟิล์ม 2 ส่วนคือ ฟิล์มด้านในและฟิล์มด้านนอก ฟิล์มด้านในจะเกาะติดอยู่กับชิ้นงานและเคลื่อนที่ไปพร้อมกับชิ้นงาน ส่วนฟิล์มด้านนอกจะเคลื่อนที่กลับลงมาบังภาษชนะที่ใช้บรรจุสารละลาย



รูปที่ 2.27 การเคลือบด้วยการจุ่มเคลือบแบบต่อเนื่อง [14]

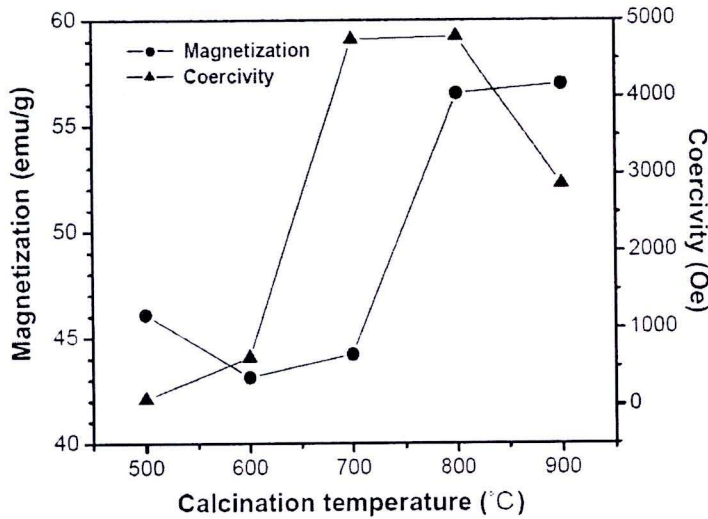
ความหนาของฟิล์มที่เคลือบอยู่บนชิ้นงานจะสัมพันธ์กับตำแหน่งที่แรงกระทำที่แตกต่างกัน โดยบริเวณเหล่านี้มีแรงกระทำเกิดขึ้น 6 แรง คือ

- 1) แรงดึงที่เกิดจากความหนดที่ดึงของเหลวขึ้นเมื่อชิ้นงานเคลือบที่ขึ้น
- 2) แรงนื้องจากแรงโน้มถ่วง
- 3) ผลของแรงนื้องจากแรงตึงผิวในส่วนของผิวฟิล์มกับผิวของสารละลาย
- 4) แรงนื้องจากการยึดเกาะของฟิล์มชั้นในกับชิ้นงาน
- 5) แรงที่เกิดจากผลต่างของแรงตึงผิว
- 6) แรงที่เกิดจากความดันที่ไม่สม่ำเสมอ

กระบวนการเคลือบด้วยวิธีโซลเจลนั้น การระเหยมักจะขึ้นอยู่กับการแข็งตัวของฟิล์มที่เคลือบ โดยปัจจัยที่สำคัญของการระเหยคืออัตราการแพร่ของไอออกจากผิวน้ำของฟิล์ม

2.10 งานวิจัยที่เกี่ยวข้อง

Giacia-Cerda และคณะ [15] ได้ทำการสังเคราะห์สารสตอรอนเทียมเฟอร์ไรท์ด้วยวิธีโซลเจล อุณหภูมิการเผาแคลไซน์จาก 500°C ถึง 900°C และเวลาการเผาแคลไซน์ 2 ชั่วโมง พบร่วมกับอุณหภูมิ 700°C จะเกิดเฟสของสารสตอรอนเทียมเฟอร์ไรท์ ($\text{SrFe}_{12}\text{O}_{19}$) และมีค่าสภาพลับล้างทางแม่เหล็กสูงสุด 4.78 kOe ค่าแมกนีไตเซซั่นอิ่มตัวมีค่า 56.97 emu/g ที่อุณหภูมิ 900°C จากรูปที่ 2.28 แสดงถึงค่าแมกนีไตเซซั่นอิ่มตัวของผง $\text{SrFe}_{12}\text{O}_{19}$ ที่อุณหภูมิการเผาแคลไซน์ 500°C ถึง 900°C โดยค่าแมกนีไตเซซั่นจะลดลงในช่วงแรก 500°C ถึง 600°C และจะเพิ่มสูงขึ้นที่ 600°C ถึง 900°C โดยที่อุณหภูมิ 500°C ถึง 600°C พบรูปของ $\alpha\text{-Fe}_2\text{O}_3$ และที่ 700°C ขึ้นไปเป็นโครงสร้างของ $\text{SrFe}_{12}\text{O}_{19}$ ทำให้ค่าแมกนีไตเซซั่นและค่าสภาพลับล้างแม่เหล็กมีค่าสูง



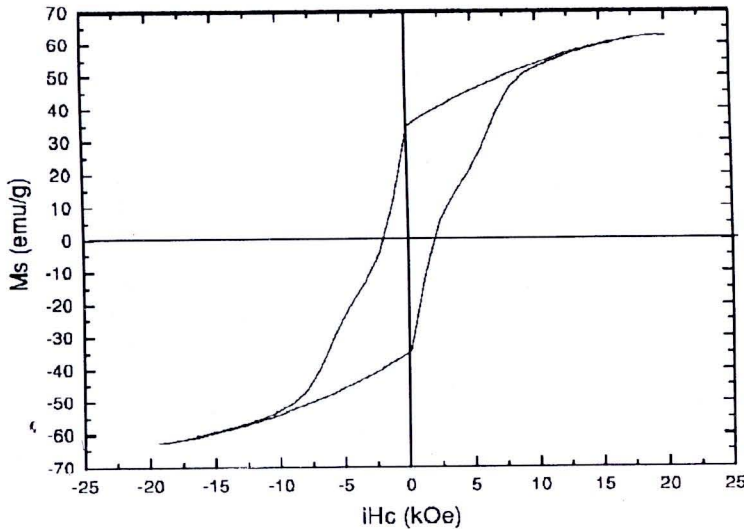
รูปที่ 2.28 ความสัมพันธ์ระหว่างอุณหภูมิกับค่าแม่กน์ ໄตเซชันและค่าสภาพลบล้างแม่เหล็ก [15]

Zai-Bing และคณะ [16] ได้สังเคราะห์สารสตอรอนเทียมเฟอร์ไรท์ด้วยวิธี salt melt method ใช้อุณหภูมิเปลี่ยนแปลงจาก 500°C ถึง 1300°C และเวลาการเผาแคลไชน์เปลี่ยนแปลงจาก 2 ชั่วโมง ถึง 10 ชั่วโมง พบว่าที่อุณหภูมิ 850°C จะเกิดเฟสของสารสตอรอนเทียมเฟอร์ไรท์ SrFe₁₂O₁₉ มีขนาดอนุภาค 0.66 ไมโครเมตร ที่เวลาการเผาแคลไชน์ 2 ชั่วโมง และขนาดอนุภาคใหญ่ขึ้นเป็น 1.12 ไมโครเมตรที่เวลาการเผาแคลไชน์ 10 ชั่วโมง และมีค่าสภาพลบล้างทางแม่เหล็กสูงสุด 5.14 kOe ค่าแม่กน์ ໄตเซชันอิ่มตัวมีค่า 60.2 emu/g และค่าสภาพคงค้างแม่เหล็กมีค่า 33.5 emu/g

Martinez และคณะ [17] ได้สังเคราะห์สารสตอรอนเทียมเฟอร์ไรท์ด้วยวิธีโซลเจล อัตราส่วนโนโล Fe/Sr เป็น 12.0 และมีการเติม SrCO₃ ลงไปในสารประกอบระหว่างเหล็กและสตอรอนเทียม และเติม เอทิลีน ไอกออล กรดเบนซีน (Benzoic acid) การเผาแคลไชน์มีการควบคุมให้อยู่ภายใต้สภาวะการไหลของอากาศ 200 cm³/min และให้มีการเผาแคลไชน์ภายใต้สภาวะบรรยายกาศที่ไม่มีการควบคุม ใช้อุณหภูมิเปลี่ยนแปลงจาก 250°C ถึง 900°C พบว่าที่สภาวะที่มีการควบคุมปริมาณออกซิเจนพบเฟสของสารสตอรอนเทียมเฟอร์ไรท์ SrFe₁₂O₁₉ ที่อุณหภูมิ 500°C ถึง 900°C และพบโครงสร้างของ α-Fe₂O₃ ขึ้น ขณะที่สภาวะการเผาแคลไชน์ที่ไม่มีการควบคุมปริมาณออกซิเจนพบเฟสของ γ-Fe₂O₃ และ SrCO₃

Yen-Pei และคณะ [18] ได้สังเคราะห์สารสตอรอนเทียมเฟอร์ไรท์ด้วยวิธี microwave-induced combustion ใช้อุณหภูมิเปลี่ยนแปลงจาก 850°C ถึง 1050°C และเวลาการเผาแคลไชน์ 2 ชั่วโมง พบว่าที่อุณหภูมิ 850°C จะเกิดเฟสของสารสตอรอนเทียมเฟอร์ไรท์ SrFe₁₂O₁₉ มีอนุภาคขนาด 52 นาโนเมตร ที่อุณหภูมิ 850°C และขนาดอนุภาคใหญ่ขึ้นเป็น 78 นาโนเมตร จากรูปที่ 2.29 แสดงวงจรอาร์เซนิส

ของสารตัวอย่างที่เผาเคลดไชน์ 1000°C เป็นเวลา 2 ชั่วโมง มีค่าสภาคพลบลังทางแม่เหล็ก 1.95 kOe ค่าแม่กเน่ไടเซชันอินตัวสูงสุด มีค่า 62.28 emu/g และค่าคงค้างแม่เหล็ก มีค่า 34.58 emu/g



รูปที่ 2.29 ความสัมพันธ์ระหว่างค่าแม่กเน่ไടเซชันและสนามแม่เหล็กภายนอกที่อุณหภูมิการเผาเคลดไชน์ 1000°C เป็นเวลา 2 ชั่วโมง [18]

Alamolhoda และคณะ [19] ได้ศึกษาหาอัตราส่วนเหล็กต่อสารสตรอนเทียม (Fe/Sr) ด้วยวิธีโซลเจล โดยมีการเปลี่ยนแปลงอัตราส่วนตั้งแต่ Fe/Sr เท่ากับ 9, 10, 11 และ 12 ใช้อุณหภูมิการเผาเคลดไชน์เปลี่ยนแปลงจาก 800°C ถึง 1000°C พบว่าอัตราส่วน Fe/Sr เท่ากับ 10 ที่อุณหภูมิ 800°C ขนาดของอนุภาค 37 นาโนเมตร เป็นสภาวะที่ดีที่สุดเนื่องอุณหภูมิการเผาเคลดไชน์ 1000°C พบว่าขนาดของอนุภาคใหญ่เป็น 3 ไมโครเมตร ผลจากการวิเคราะห์ด้วยการเลี้ยวเบนของรังสีเอกซ์พบว่าโครงสร้างที่เกิดขึ้นเป็นโครงสร้างของเหล็กแมกนีไซต์ ($\gamma\text{-Fe}_2\text{O}_3$) และพบโครงสร้างสตรอนเทียมคาร์บอนเนต (SrCO_3) และเหล็กไฮเมท ($\alpha\text{-Fe}_2\text{O}_3$) เกิดขึ้นด้วย

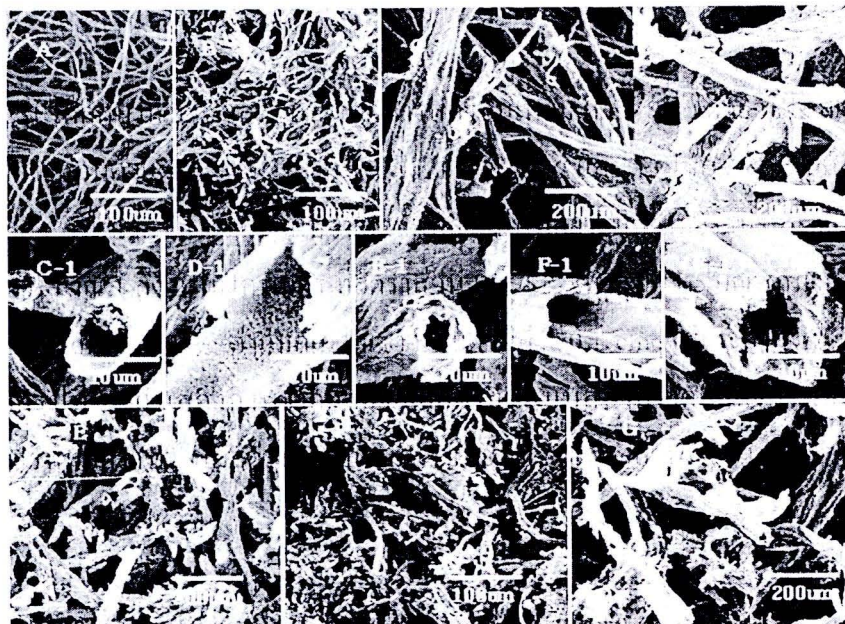
Yen-Pei และคณะ [20] ได้ศึกษาหาอัตราส่วนเหล็กต่อสารสตรอนเทียม (Fe/Sr) ด้วยวิธี microwave-induced combustion โดยมีการเปลี่ยนแปลงอัตราส่วนตั้งแต่ $\text{Fe/Sr} = 11$ และ 12 ใช้อุณหภูมิเปลี่ยนแปลงจาก 850°C ถึง 1050°C เป็นเวลา 2 ชั่วโมง ขนาดของอนุภาคเพิ่มขึ้นจาก 52 ถึง 78 นาโนเมตรและพบว่าที่อุณหภูมิ 1000°C อัตราส่วน Fe/Sr มีค่า 11.6 มีค่าสภาคพลบลังทางแม่เหล็ก 1.95 kOe ค่าแม่กเน่ไടเซชันอินตัว 62 emu/g

Brito และคณะ [21] ได้สังเคราะห์สารสตรอนเทียมเฟอร์ไรท์ด้วยวิธีโซลเจลอุณหภูมิเปลี่ยนแปลงจาก 600°C ถึง 1000°C และเวลาการเผาเคลดไชน์ 2 ชั่วโมง พบว่าที่อุณหภูมิ 1000°C สารสตรอนเทียมเฟอร์

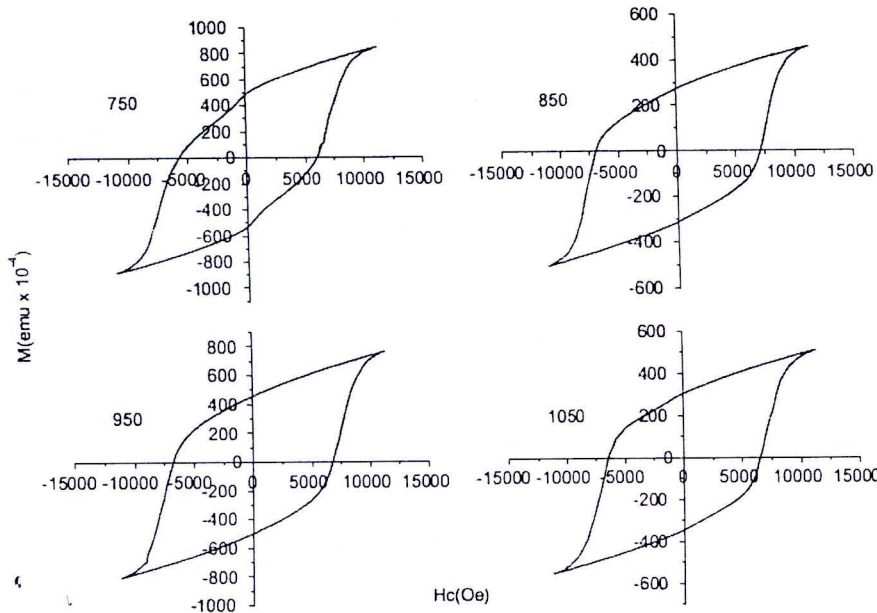
ໄร์ท $\text{SrFe}_{12}\text{O}_{19}$ มีอนุภาคขนาด 57 นาโนเมตร และมีค่าสภาระบลลังทางแม่เหล็กสูงสุด 1.40 kOe ค่าแมกเน่ໄตเซชันอิ่มตัวมีค่า 64 emu/g และค่า M_s/M_s มีค่า 0.55 emu/g

Alamohoda และคณะ [22] ได้สังเคราะห์สารสตรอนเทียมเฟอร์ไรท์ด้วยวิธี โซลเจล โดยศึกษาผลกระทบของสาร surfactant ต่อขนาดอนุภาชนะของผลึกโดยการควบคุมค่าพีเอช 7.0 ด้วยสารละลายแอมโนเนีย ใช้อุณหภูมิเปลี่ยนแปลงจาก 800°C ถึง 1000°C อนุภาคมีขนาด 35-40 นาโนเมตร โดยการใช้เจล nitrate-citrate และสาร surfactant

Wang และคณะ [23] ได้ศึกษาหาอัตราส่วนเหล็กต่อสารสตรอนเทียม ($\text{Fe}^{3+}/\text{Sr}^{2+}$) ด้วยวิธีโซลเจลโดยมีการเปลี่ยนแปลงอัตราส่วนตั้งแต่ $\text{Fe}^{3+}/\text{Sr}^{2+}$ เท่ากับ 9, 10, 11, 11.5, 12 และ 13 ใช้อุณหภูมิเปลี่ยนแปลงจาก 750°C ถึง 1050°C เป็นเวลา 2 ชั่วโมง พบร่วมกับลักษณะเป็นท่อยาวมีความยาวประมาณ 8 ถึง 13 ไมโครเมตรหนาประมาณ 1 ถึง 2 ไมโครเมตร ที่อัตราส่วน $\text{Fe}^{3+}/\text{Sr}^{2+}$ เท่ากับ 11.5 อุณหภูมิ 850°C มีค่าสภาระบลลังทางแม่เหล็ก 7.11 kOe ค่าแมกเน่ໄตเซชันอิ่มตัวมีค่า 70.1 emu/g และค่าคงค้างแม่เหล็ก 42.4 emu/g จากรูปที่ 2.30 แสดงภาพจากกล้องอิเล็กตรอนแบบส่องรากแสดงการเคลือบสารสตรอนเทียมเฟอร์ไรท์ที่อัตราส่วนโมลต่างๆ กันบนเส้นใยฝ้าย ซึ่งจะแสดงลักษณะการบีบเคี้ยวในแบบต่างๆ



รูปที่ 2.30 รูปว่างของสารสตรอนเทียมเฟอร์ไรท์บนเส้นใยฝ้ายที่มีอัตราส่วนเหล็กต่อสารสตรอนเทียมเป็น 9, 10, 11, 11.5, 12 และ 13 [23]



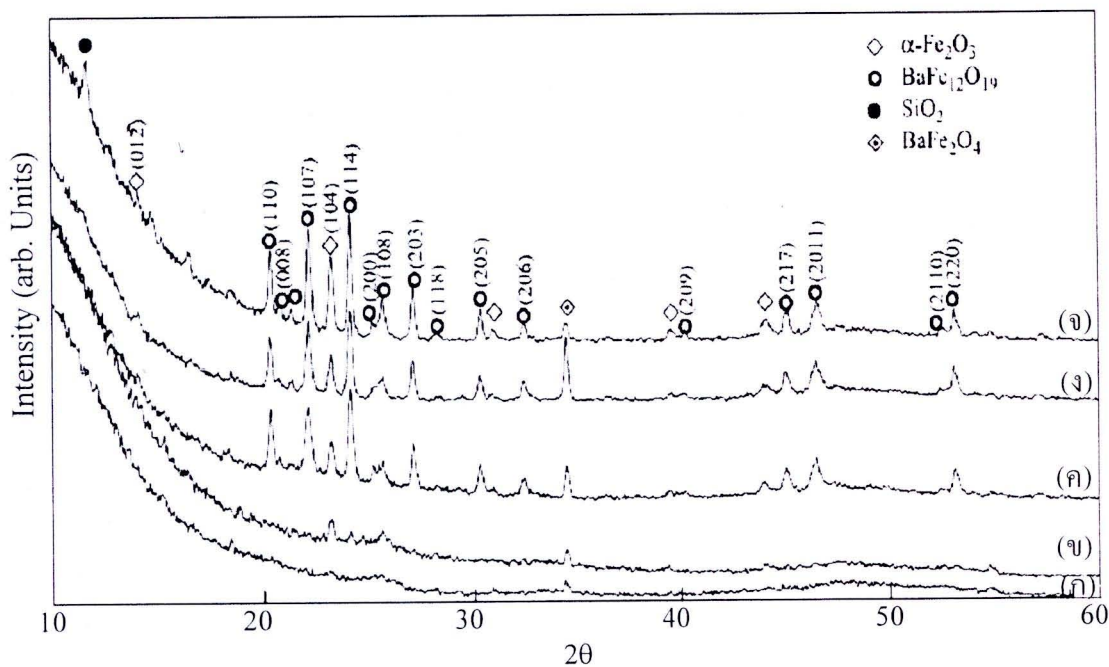
รูปที่ 2.31 วงฮีสเทอร์ซีสของสตอรอนเทียมเฟอร์ไรท์สัดส่วนของเหล็กต่อสตอรอนเทียมเป็น 11.5 ที่อุณหภูมิ 750°C , 850°C , 950°C และ 1050°C [23]

จากรูป 2.31 แสดงวงฮีสเทอร์ซีสของสตอรอนเทียมเฟอร์ไรท์ที่แสดงค่าของแมกนีโトイเซชัน ค่าสภาคบลับล้างแม่เหล็ก และค่าแม่เหล็กคงค้างที่สัดส่วนของเหล็กต่อสตอรอนเทียมเป็น 11.5 ที่อุณหภูมิ 750°C , 850°C , 950°C และ 1050°C โดยที่อุณหภูมิ 850°C พบร่วมค่าสภาคบลับล้างทางแม่เหล็กสูงที่สุด

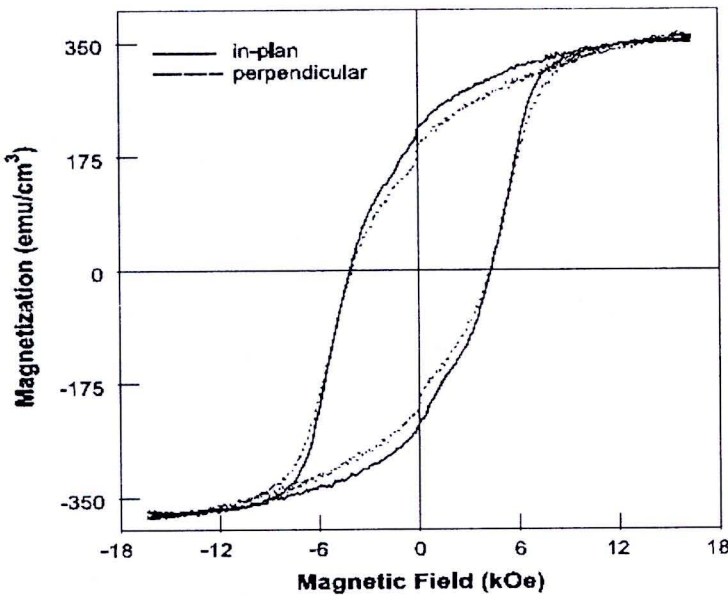
Ghasemi และคณะ [24] ได้สังเคราะห์ฟิล์มสตอรอนเทียมเฟอร์ไรท์ด้วยวิธี โซลเจล โดยการใช้ผงสตอรอนเทียมเฟอร์ไรท์ที่ใช้อุณหภูมิอบที่ 190°C เป็นเวลา 30 นาที และเผาໄล่สารอองแกนิกส์ออกด้วยอุณหภูมิ 450°C เป็นเวลา 30 นาที และเผาแคลไซน์ 1000°C เวลา 1 ชั่วโมง ใช้การเคลือบแบบสปินลงบนแผ่นวัสดุรองรับที่เป็นอลูминีเนียม ที่ความเร็วรอบ 3000 รอบต่อนาที เป็นเวลา 30 วินาที โดยพื้นที่ควบคุมอยู่ในช่วง 1.5-2.0 จะได้ฟิล์มที่มีความหนา 15 ไมโครเมตร ผลทางแม่เหล็กมีการจ่ายสนามทั้งในทิศทางขานานและตั้งฉากสูงประมาณ 17 kOe ยังไม่พบค่าอิมตัวทางแม่เหล็กของฟิล์ม และพบว่าค่าสภาคบลับล้างแม่เหล็กในทิศทางขานานและตั้งฉากมีค่า 5 kOe ซึ่งใกล้เคียงกับผงคือ 5.95 kOe

Pramanik และคณะ [25] เตรียมฟิล์มบางแบบเรียบเชิงอะเสกชัฟเฟอร์ไรท์ขนาดเกรนระดับนาโนเคลือบบนวัสดุรองรับที่เป็นซิลิกอน โดยวิธี โซลเจล ด้วยสารละลายเหล็กคลอไรด์ อุณหภูมิตั้งแต่ $450 - 900^{\circ}\text{C}$ วิเคราะห์ฟิล์มด้วยเครื่องวัดการเลี้ยวเบนของรังสีเอกซ์ (XRD) เครื่องวัดปริมาณธาตุ (ICP) กล้องจุลทรรศน์อิเล็กตรอนแบบส่อง粒粒 (FESEM) ผลการศึกษาฟิล์มจากพลอยอุณหภูมิพบว่าเกิดโครงสร้างของแบบเรียบเชิงอะเสกชัฟเฟอร์ไรท์ที่อุณหภูมิ 700°C ขนาดเกรน 50 นาโนเมตร ศึกษาสมบัติทาง

แม่เหล็กของฟิล์มด้วยเครื่องวัดสมบัติแม่เหล็กแบบสันตัวอย่าง (VSM) ค่าแมกเนติซีชันอิ่มตัวเชิงปริมาตรมีค่าตั้งแต่ $247\text{-}355$ emu/cm³ และค่าสภาพคล่องแม่เหล็กมีค่า $2.70\text{-}4.22$ kOe อุณหภูมิครูรี $443\text{-}457^\circ\text{C}$ จากรูปที่ 2.32 แสดงลักษณะโครงสร้างที่ได้จากการวิเคราะห์ด้วยเครื่อง XRD ของฟิล์มที่มีอัตราส่วนโนโล Fe/Ba เป็น 12.0 เคลือบบนซิลิกอนระนาบ (110) แคลไซน์ 1 ชั่วโมงอุณหภูมิ (ก) 450°C พบรอบโครงสร้างของ BaFe_2O_4 (ข) 600°C พบรอบโครงสร้างของ BaFe_2O_4 และ $\alpha\text{-Fe}_2\text{O}_3$ (ค) 700°C พบรอบโครงสร้างของ $\alpha\text{-Fe}_2\text{O}_3$ และ $\text{BaFe}_{12}\text{O}_{19}$ (ง) 800°C พบรอบโครงสร้างของ $\alpha\text{-Fe}_2\text{O}_3$ และ $\text{BaFe}_{12}\text{O}_{19}$ และ (จ) 900°C พบรอบโครงสร้างของ $\alpha\text{-Fe}_2\text{O}_3$ และ $\text{BaFe}_{12}\text{O}_{19}$



รูปที่ 2.32 รูปแบบการเลี้ยวเบนของรังสีเอกซ์ของฟิล์มที่เคลือบบนซิลิกอนระนาบ (110) ที่อุณหภูมิ (ก) 450°C (ข) 600°C (ค) 700°C (ง) 800°C และ (จ) 900°C [25]



รูปที่ 2.33 ความสัมพันธ์ระหว่างค่าสนามแม่เหล็กกับค่าแม่กน่ำตัวเชื้อนของฟิล์มแบบเรย์มเฟอร์ ไรท์ที่เคลือบบนแผ่นซิลิกอนร้อน (110) ที่อุณหภูมิเผา 900°C เป็นเวลา 1 ชั่วโมง [25]

จากรูปที่ 2.33 แสดงความสัมพันธ์ระหว่างค่าสนามแม่เหล็กกับค่าแม่กน่ำตัวเชื้อนของฟิล์มแบบเรย์มเฟอร์ ไรท์ที่เคลือบบนแผ่นซิลิกอนร้อน (110) ที่อุณหภูมิเผา 900°C เป็นเวลา 1 ชั่วโมง ซึ่งได้ค่าสกัดพอบลังแม่เหล็กและค่าแม่กน่ำตัวเชื้อนสูงสุดเชิงปริมาตรอยู่ในช่วง $2.02\text{-}4.22 \text{ kOe}$ และ $99\text{-}355 \text{ emu/cm}^3$ ตามลำดับและการเกิดโครงสร้างผลึกเป็นไปแบบสุ่มทั้งแบบขนาดและตั้งจากกับร้อนนาบ

Zhanyong และคณะ [26] ได้สังเคราะห์สารสตอรอนเทียมเฟอร์ ไรท์ด้วยวิธี Microwave โดยสารตั้งต้านก่อนการเผาแคลดใจน้ำเตรียมด้วยวิธีโซลเจล สารตั้งต้านที่ใช้คือ $\text{Fe}(\text{NO}_3)_3 \cdot 9\text{H}_2\text{O}$, $\text{Sr}(\text{NO}_3)_2$ และกรดซิตริก สารตัวอ่อนย่างเผาแคลดใจน้ำที่ 800°C เป็นเวลา 80 นาที วิเคราะห์ผลทางโครงสร้างด้วยเครื่องวัดการเลี้ยวเบนของรังสีเอกซ์ (XRD) พบโครงสร้างของ $\text{SrFe}_{12}\text{O}_{19}$ วิเคราะห์ลักษณะทางพื้นผิวด้วยกล้องจุลทรรศน์อิเล็กตรอนแบบส่อง粒 (SEM) พบว่าอนุภาคมีขนาด $100\text{-}800 \text{ นาโนเมตร}$ เป็นรูปคล้ายหกเหลี่ยมและวิเคราะห์สมบัติทางแม่เหล็กด้วยเครื่องวัดสมบัติแม่เหล็กแบบสั่นตัวอย่าง (VSM) พบว่าค่า M_s มีค่า 54.80 emu/g , M_i มีค่า 29.52 emu/g และค่า H_c มีค่า 5.3 kOe

2.11 การเลี้ยวเบนของรังสีเอกซ์

การเลี้ยวเบนของรังสีเอกซ์ (X-ray Diffraction, XRD) เป็นเทคนิคหนึ่งที่ใช้ในการศึกษาวิเคราะห์โครงสร้างผลึกที่ไม่ทำลายชิ้นงานตัวอย่าง โดยรังสีเอกซ์จะเลี้ยวเบนไปจากช่องว่างระหว่างอะตอมภายในผลึกดังรูปที่ 2.34 และจะถูกบันทึกค่าແลี้ยวเบนไว้ทำการวิเคราะห์ธรรมชาติของโครงสร้างผลึกนั้นา โดยระยะห่างระหว่างอะตอมนั้นสามารถคำนวณได้จากกฎของแบรกค์ (Bragg's law) การวิเคราะห์ด้วยเทคนิคการเลี้ยวเบนของรังสีเอกซ์นั้นจะใช้คุณสมบัติการเลี้ยวเบนรังสีของโครงสร้างผลึก ซึ่งเป็นไปตามสมการของแบรกค์

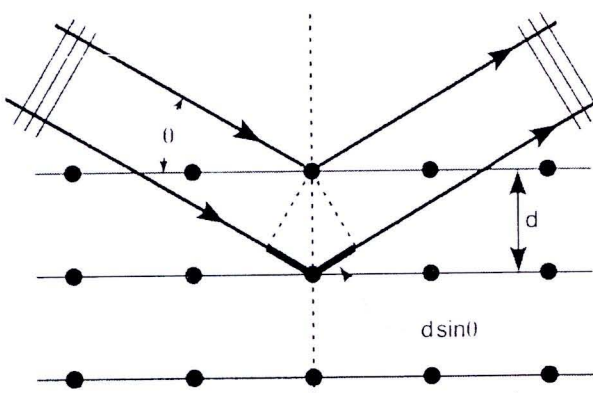
$$2ds\sin\theta = n\lambda \quad (2.11)$$

โดยที่ $n = 1, 2, 3\dots$

λ คือ ค่าความยาวคลื่นของรังสีเอกซ์

θ คือ มุมตักษะทบทองรังสีเอกซ์กับระนาบผลึก

d คือ ระยะห่างระหว่างระนาบผลึก



รูปที่ 2.34 รังสีที่เลี้ยวเบนตามสมการของแบรกค์ [27]

เมื่อวางตัวอย่างในเครื่อง diffractometer แล้วฉายด้วยรังสีเอกซ์ รังสีที่เกิดการเลี้ยวเบนจะถูกบันทึกบนแผ่นฟิล์มหรือตัวตรวจวัดรังสี (detector) และส่งต่อมายังระบบประมวลผล ข้อมูลที่ได้จะถูกรวบรวมแล้วนำมาพล็อตจนได้กราฟที่เรียกว่า diffractogram ซึ่งแต่ละรูปแบบการเลี้ยวเบนที่เกิดขึ้นจะเป็นลักษณะเฉพาะของโครงสร้างชาตุแต่ละชนิด ด้วยหลักการการเลี้ยวเบนของรังสีเอกซ์ ทำให้เราได้ทราบถึงข้อมูลของวัสดุที่ต้องการศึกษาทั้งทางด้านกายภาพ เคมี และคุณสมบัติเชิงกลอย่างมาก many

เทคนิคที่ใช้หลักการเดียวกันของรังสีเอกซ์สามารถแบ่งได้เป็น 2 เทคนิค ได้แก่

- 1) Single-crystal methods เป็นเทคนิคที่ใช้ในการตรวจวัดโครงสร้างอะตอมดูความสมมาตร ตำแหน่ง ของว่าง เป็นต้น ซึ่งวิธีการดังเดิมนั้นเป็น Laue - method จะใช้ผลึกติดอยู่กับที่และทำการเปลี่ยนแปลงค่าความยาวคลื่นของรังสีเอกซ์ เมื่อฉายลำรังสีให้ตกลงบนผลึกเดียวจะทำการบันทึกผลการเดียวกันลงบนแผ่น photographic plate ซึ่งใช้ในการบันทึกค่าความเข้มและตำแหน่งของรังสีที่เกิดการเดียวกัน วิธีการนี้จะใช้รังสีเอกซ์ที่มีความยาวคลื่นค่าเดียวกันที่อุปกรณ์ การเปลี่ยนมุม θ โดยการเคลื่อนที่ของผลึกซึ่งอยู่บนแท่นหมุน แล้วใช้ diffractometer และคอมพิวเตอร์ในการเก็บรวบรวมและจัดการข้อมูล
- 2) Powder methods วิธีการนี้จะใช้ในการระบุโครงสร้างผลึกของเฟส โดยจะใช้บวกองค์ประกอบและตรวจวัดความสัมพันธ์ของชาตุที่มีอยู่ในสารผสม เช่นเดียวกับเทคนิคของ Single-crystal methods คือ แต่เดิมนั้นจะใช้เทคนิคของการถ่ายภาพในการบันทึกข้อมูลการเดียวกัน แต่ในปัจจุบันจะใช้เครื่องมือที่เรียกว่า X-ray powder diffractometer เป็นวิธีการที่สามารถแยกความแตกต่างของเฟสของอะตอมที่เป็นส่วนประกอบสำคัญในตัวอย่างได้ดี โดยเทคนิค X-ray powder diffractometry นั้นจะใช้ลำรังสีเอกซ์ที่มีความยาวคลื่นค่าเดียวกันของลำรังสีที่ถูกทางอุปกรณ์ แท่นหมุนเป็นมุม $\theta = 0 - 90^\circ$ รังสีที่เดียวกันจะถูกตรวจวัดด้วยเครื่องตรวจวัดแล้วบันทึกบน inked strip chart เครื่องตรวจวัดจะหมุนไปพร้อม ๆ กันแท่นหมุน แต่จะหมุนเป็นมุม 2θ และ strip chart จะหมุนไปพร้อมกับแท่นหมุนและเครื่องตรวจวัดด้วยความเร็วคงที่ เพื่อบันทึกค่าความเข้มของรังสีเอกซ์ที่เครื่องตรวจวัดได้ แล้วนำมาพิมพ์ต่อกราฟ diffractogram ซึ่งประกอบด้วยพิกัด d โดยที่พิกัด d จะเป็นลักษณะเฉพาะของเฟสอะตอมต่าง ๆ จากความสัมพันธ์ของสมการของเบอร์ก์ จะสามารถหาค่า d ของแต่ละพิกัดแล้วนำไปเปรียบเทียบกับมาตรฐานที่มีอยู่ เช่น JCPDS (Joint Committee on Powder Diffraction Standards) ก็จะสามารถหาปริมาณสัมพัทธ์ของเฟสที่มีอยู่ในสารตัวอย่างได้

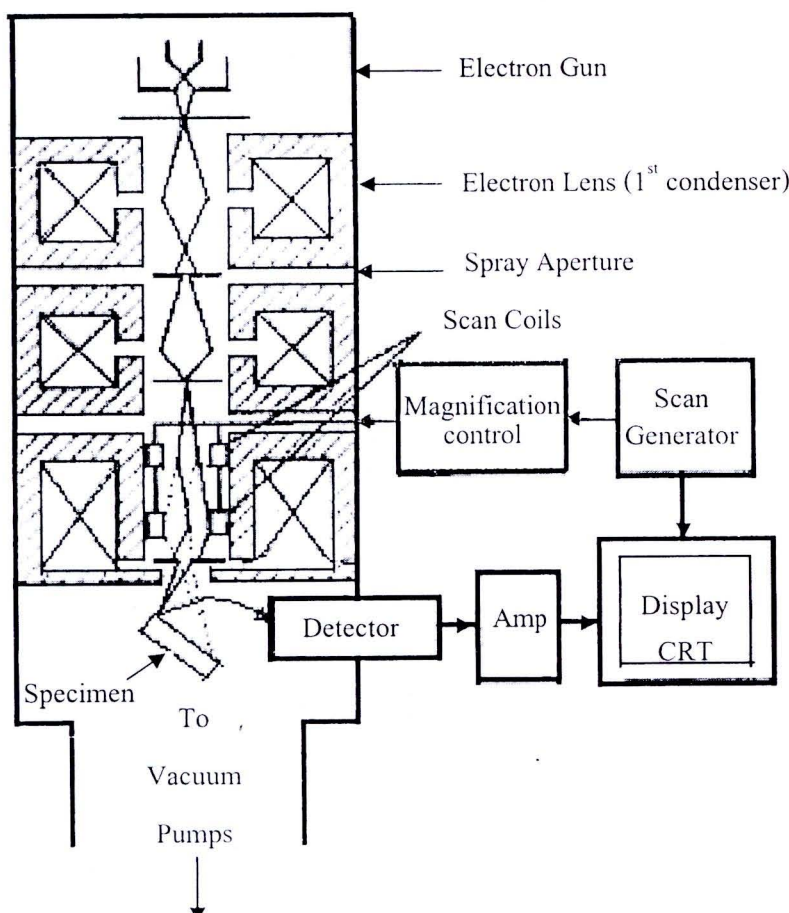
2.12 กล้องจุลทรรศน์อิเล็กตรอนแบบส่องกราด

กล้องจุลทรรศน์อิเล็กตรอนแบบส่องกราด (Field Emission Scanning Electron Microscope, FESEM) หลักการทำงานจะประกอบด้วยแหล่งกำเนิดอิเล็กตรอนซึ่งทำหน้าที่ผลิตอิเล็กตรอนเพื่อป้อนให้กับระบบ โดยกลุ่มอิเล็กตรอนที่ได้จากแหล่งกำเนิดจะถูกเร่งด้วยสนามไฟฟ้า จากนั้นกลุ่มอิเล็กตรอนจะผ่านเลนส์รวม (condenser lens) เพื่อทำให้กลุ่มอิเล็กตรอนถ่ายเป็นลำอิเล็กตรอน ซึ่งสามารถปรับให้ขนาดของลำอิเล็กตรอนใหญ่หรือเล็กได้ตามต้องการ หากต้องการภาพที่มีความคมชัดจะปรับให้ลำอิเล็กตรอนมีขนาดเล็ก หลังจากนั้นลำอิเล็กตรอนจะถูกปรับระยะไฟฟ้าโดยเลนส์ไอลีวัตตุ (objective lens) ลงไปบนผิวชิ้นงานที่ต้องการศึกษาหลังจากนั้นลำอิเล็กตรอนถูกกราดลงบนชิ้นงาน

จะทำให้เกิดอิเล็กตรอนทุติกูมิ (secondary electron) ขึ้น สัญญาณจากอิเล็กตรอนทุติกูมินี้จะถูกบันทึกและแปลงไปเป็นสัญญาณทางอิเล็กทรอนิกส์และถูกนำมาสร้างเป็นภาพบนจอแสดงผลต่อไป และสามารถบันทึกภาพจากหน้าจอภาพได้เลย

ลักษณะการใช้งานกล้องจุลทรรศน์อิเล็กตรอนแบบส่องกล้อง

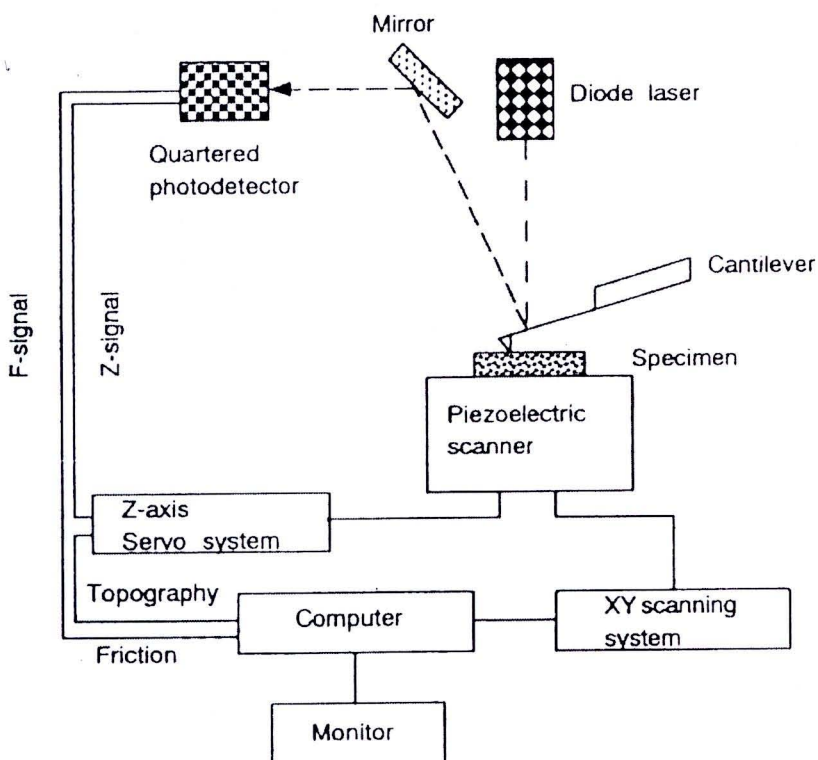
- 1) High resolution mode สำหรับงานที่ต้องการกำลังขยายสูงๆ จึงต้องการจุดทดลองขนาดเล็กๆ
- 2) High depth of field mode สำหรับงานที่ต้องการความชัดลึกสูง จึงต้องการใช้มุมมองกว้างเจนต์ของลำอิเล็กตรอนเล็กๆ
- 3) High current mode สำหรับการวิเคราะห์องค์ประกอบทางเคมีโดยใช้รังสีเอกซ์ ต้องการปริมาณกระแสมากๆ เพื่อเพิ่มความไว (sensitive) ต่อการตรวจวัดปริมาณของธาตุ
- 4) Low voltage mode นอกจากอิเล็กตรอน SEM เช่น แบบฟิล์ดอิมิชัน (FE-SEM) สามารถทำงานได้ดีที่ค่าความต่างศักย์ต่ำ (ต่ำกว่า 5 กิโลโวลต์) เนื่องจากการใช้งานในลักษณะนี้จะได้ข้อมูลพื้นผิวที่ดีขึ้น อีกทั้งยังลดปริมาณประจุสะสมบนผิว จึงทำให้สามารถศึกษาตัวอย่างที่ไม่นำไปไฟฟ้าได้โดยไม่ต้องเคลือบคาร์บอนหรือโลหะ



รูปที่ 2.35 ส่วนประกอบและการทำงานของเครื่อง FESEM [28]

2.13 วิเคราะห์ผิวตัวอย่างด้วยกล้องจุลทรรศน์แรงอัตโนมัติ

กล้องจุลทรรศน์แรงอัตโนมัติ (Atomic force microscope, AFM) เป็นเครื่องมือที่ใช้งานทางด้านวิทยาศาสตร์ระดับนาโนสามารถทำงานได้โดยการใช้อุปกรณ์ตรวจหรือโพรบ (probe) ที่มีปลายแหลมเล็กติดอยู่กับคานยื่น (cantilever) ที่สามารถโถงตัวได้เคลื่อนที่สัมผัสไปบนพื้นผิวของวัตถุ ซึ่งสามารถที่จะวัดแรงกระทำที่ปลายแหลมของโพรบได้แม้ว่าจะมีขนาดน้อยมากในระดับนาโนก็ตาม และประโยชน์ของเครื่องจุลทรรศน์แรงอัตโนมัติคือสามารถตรวจวัดพื้นผิวที่เป็นจุดนวนไฟฟ้าได้ เช่น พื้นผิวโพลีเมอร์ เชรามิก คอมโพสิต กระจกหรือแก้วหรือแม้แต่ไมเดกุลทางชีวภาพต่าง ๆ สามารถตรวจวัดได้



รูปที่ 2.36 ส่วนประกอบและการทำงานของเครื่อง AFM [29]

กล้องจุลทรรศน์แรงอัตโนมัติประกอบด้วยเข็มปลายแหลม (tip) ที่ทำจากซิลิเกอนไนโตรไซด์ (silicon nitride) ความยาวประมาณ 10-15 ไมโครเมตร ถูกยึดติดที่ปลายของคานยื่น ซึ่งมีความกว้างประมาณ 30-40 ไมโครเมตร และความยาวประมาณ 100-200 ไมโครเมตร ปลายเข็มจะถูกคลาดหรือสแกนไปทั่วบริเวณต่างๆ ของผิววัสดุ โดยการควบคุมการเคลื่อนที่ด้วยพีโซอิเล็กตริกสแกนเนอร์ (piezoelectric scanner) สภาพพื้นผิวที่แตกต่างกันไปของแต่ละบริเวณ จะทำให้เกิดการเบี้ยงเบนหรือมีการโค้งงอ (bending) ปริมาณการโค้งงอนี้สามารถตรวจวัดได้โดยใช้ลำแสงเลเซอร์ไปยังที่ปลายคานแล้วเกิดการสะท้อนไปยังไฟโตเด็ตอเรอร์ที่เป็นตัววัดแสง ซึ่งจะถูกแปลงเป็นสัญญาณไฟฟ้าเพื่อนำไปประมวลผล

เป็นภาพต่อไป ภาพที่ได้จากเทคนิคนี้จะสอดคล้องกับสภาพพื้นผิวในแต่ละบริเวณที่ตรวจสอบ สิ่งที่ทำให้ค่านี้มีเงื่อนไขคือการใช้ของขึ้นก็คือแรงกระทำระหว่างอะตอมซึ่งในกรณีนี้หมายถึงแรงแวนเดอร์วัลล์ (Van der waals force) ที่เกิดขึ้นระหว่างอะตอมที่พื้นผิวของชิ้นงานตัวอย่างและอะตอมที่อยู่บริเวณปลายเข็ม โดยแรงนี้อาจจะเป็นแรงดูดหรือแรงผลักก็ได้

ความสัมพันธ์ระหว่างพลังงานศักย์ ($U(r)$) กับระยะห่างระหว่างอะตอม (r) สามารถอธิบายได้ด้วย Lennard-Jones Potential ดังสมการ

$$U(r) = 4\epsilon \left(\frac{r_0}{r} \right)^{12} - \left(\frac{r_0}{r} \right)^6 \quad (2.12)$$

เมื่อ r_0 คือ ระยะสมดุลของอะตอม (equilibrium distance)

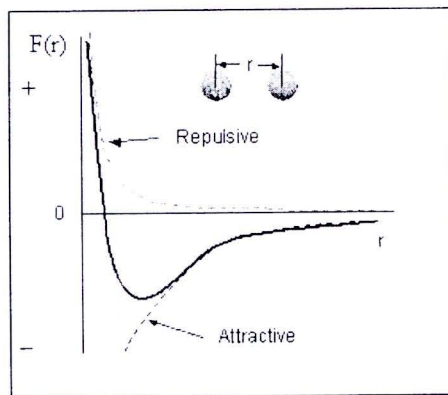
ϵ คือ ค่าพลังงานยึดเหนี่ยว (binding energy)

จากการวัดความสัมพันธ์ระหว่างแรงกับพลังงานศักย์

$$F(r) = -\frac{dU(r)}{dr} \quad (2.13)$$

ดังนั้นสามารถหาความสัมพันธ์ระหว่างแรงกับระยะห่างระหว่างอะตอม ได้ดังสมการ (2.14) และแสดงดังรูปที่ 2.37

$$F(r) = -24\epsilon \left[2\left(\frac{r_0^{12}}{r^{13}} \right) - \left(\frac{r_0^6}{r^7} \right) \right] \quad (2.14)$$



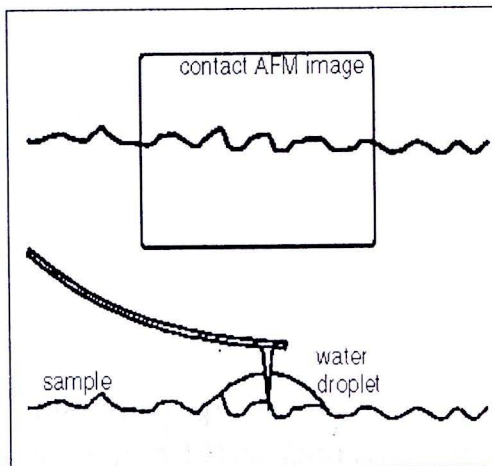
รูปที่ 2.37 ความสัมพันธ์ระหว่างแรงกับระยะห่างระหว่างอะตอม [30]

จากหลักการเกิดของแรงดูดหรือแรงผลักกระหว่างอะตอมดังกล่าวข้างต้นทำให้การทำงานของกล้องจุลทรรศน์แรงอะตอมแบ่งได้เป็น 3 โหมดได้แก่ แบบสัมผัส (contact mode) ระยะระหว่างอะตอมจะอยู่ในช่วงของแรงผลัก แบบที่สองคือแบบไม่สัมผัส (non-contact mode) ระยะระหว่างอะตอมจะอยู่

ในช่วงของแรงดูดและแบบกึงสัมผัส (tapping mode) ซึ่งแรงมีทั้งแรงดูดและแรงผลัก ขึ้นอยู่กับค่าแรงต่อระบบการเบี่ยงเบนของคานหรือค่าคงที่ของสปริง (spring constant) โดยการสั่นขึ้นลงทำงานคล้ายการสั่นของสปริงดังนั้นเพื่อให้ได้สัญญาณภาพจากกล้องจุลทรรศน์แรงอะตอมที่มีคุณภาพดีสำหรับการถ่ายภาพแบบกึงสัมผัสและแบบไม่มีสัมผัส จำเป็นต้องควบคุมให้คานและเข็มสั่นด้วยความถี่สูงใกล้เคียงกับค่าความถี่เรโซแนนซ์ (resonance frequency) ของคาน ในขณะที่การถ่ายภาพแบบสัมผัสไม่จำเป็นต้องมีการสั่นดังกล่าว สำหรับรายละเอียดของการใช้งานในแต่ละโหมดมีดังนี้

1) โหมดการวัดแบบสัมผัส (contact mode)

แบบสัมผัส เป็นการศึกษาสภาพชิ้นงานให้เข้ม ไอล (slide) ไปยังบริเวณต่างๆ บนผิวชิ้นงานซึ่งจะทำให้มีแรงผลักเกิดขึ้นเนื่องจากเข็มกับผิวงานจะอยู่ใกล้กันมากแรงผลักนี้จะเปลี่ยนไปตามสภาพผิวซึ่งจะทำให้มีการโก่งงอ (deflection) ของคานที่มีเข็มยึดติดอยู่ที่ปลายโดยประมาณการโก่งงอจะเปลี่ยนแปลงและสอดคล้องตามลักษณะของผิวชิ้นงาน

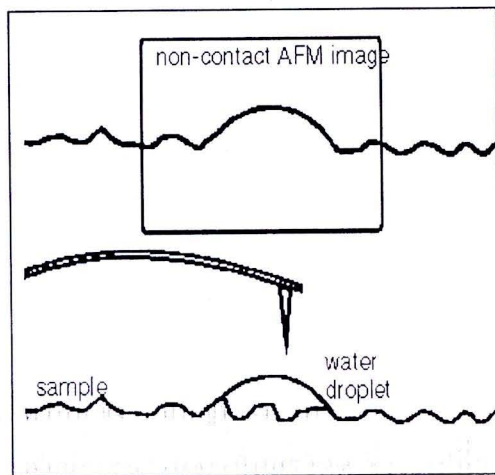


รูปที่ 2.38 รูปแบบในโหมดแบบสัมผัส [30]

ข้อเสียของเทคนิคนี้คือการลากเข็มให้เคลื่อนที่ไปตามชิ้นงาน อาจจะทำให้ผิวสัมผัสถูกทำลาย สำหรับการสแกนแบบสัมผัส อาจเกิดความเสียหายต่อชิ้นงานได้ เช่น ภายใต้สภาวะบรรยายกาศปกติซึ่งมีสภาพไปจากเดิม หรืออาจเกิดความเสียหายต่อชิ้นงานได้ เช่น ภายใต้สภาวะบรรยายกาศปกติซึ่งมีอากาศและความชื้นในอากาศอาจจะเกิดหยดน้ำหรือสิ่งสกปรกบนผิวชิ้นงาน ซึ่งเมื่อมีเข็มมาสัมผัส อาจจะทำให้แรงที่เกิดขึ้นระหว่างเข็มกับชิ้นงานเปลี่ยนแปลงไป นอกจากนี้ยังทำให้ผิวชิ้นงานถูกทำลายไป เช่น เกิดการฉีกขาดของผิวชิ้นงานหรืออาจทำให้เข็มหักได้

2) โหมดการวัดแบบไม่สัมผัส (non-contact mode)

เนื่องจากพบปัญหาของการทำงานในโหมดของการวัดแบบสัมผัส เพื่อหลีกเลี่ยงปัญหาดังกล่าวจึงได้มีการพัฒนาเทคนิคแบบไม่สัมผัสขึ้นมา โดยตัวปลายเข็มจะถูกยกขึ้นมาให้มีระยะห่างเหนือผิวงานมากขึ้น คือประมาณ 10-100 อั้งสตอรอม จึงไม่มีปัญหารือการทำลายโครงสร้างผิวชิ้นงาน โดยในการณ์นี้ แรงกระทำระหว่างเข็มกับปลายผิวชิ้นงานจะเป็นแรงดูด ซึ่งจะเปลี่ยนแปลงไปตามสภาพผิวของชิ้นงาน เช่นเดียวกัน

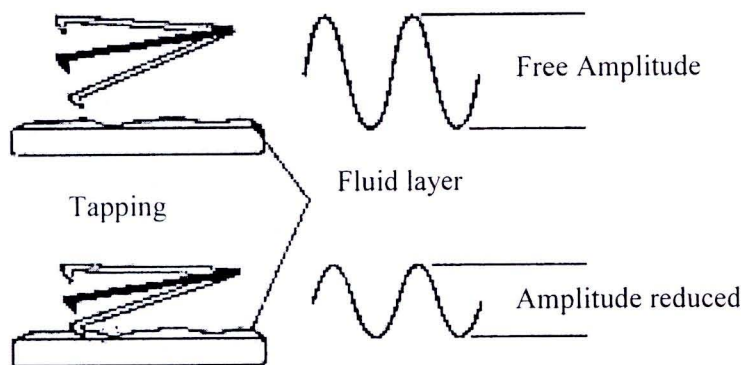


รูปที่ 2.39 รูปแบบในโหมดแบบไม่สัมผัส [30]

วิธีนี้มีข้อจำกัดเกี่ยวกับความละเอียดของภาพที่เกิดขึ้นจากผิวชิ้นงาน นั่นคือแรงดูดที่เกิดขึ้นในการณ์นี้ จะเป็นแรงที่อ่อนกว่า เมื่อเทียบกับแรงผลักที่เกิดขึ้นในการณ์ของแบบสัมผัสดังนั้นการตรวจสอบอาจง่ายขึ้น (sensitivity) ต่อสิ่งเปลกปลอมที่อยู่บริเวณผิวชิ้นงาน เช่นหยดน้ำที่เกาะอยู่บนผิว

3) โหมดการวัดแบบก๊งสัมผัส (tapping mode)

เป็นเทคนิคที่รวมเอาลักษณะของการวัดทั้งแบบสัมผัสและแบบไม่สัมผัสเข้าด้วยกัน นั่นคือยังคงให้มีการสัมผัสนานระหว่างเข็มกับผิวชิ้นงานในระยะที่ใกล้กันมากเหมือนกับในการณ์ของแบบสัมผัส เพื่อให้เกิดภาพที่ชัดเจนในขณะเดียวกันก็จะให้มีการสั่นของเข็มให้เคลื่อนที่ขึ้นลงไปพร้อมๆ กันกับการเคลื่อนที่ไปยังบริเวณต่างๆ ของชิ้นงาน เพื่อลดปัญหาการถลอกของเข็มซึ่งทำให้เกิดการทำลายสภาพของชิ้นงานดังในกรณีแบบสัมผัส



รูปที่ 2.40 รูปแบบในโหมดแบบกึ่งสัมผัส [30]

จากรูป 2.40 แสดงการสั่นของคานในสภาพอิสระในรูปเริ่มแรกยังไม่เกิดการสัมผัสและขบวนเคลื่อนที่ไปบนผิวชิ้นงาน จะเห็นได้ว่าแอมปลิจูดจะยังสูงเมื่อเทียบกับแอมปลิจูดที่เกิดจากการสั่นของคานเมื่อมีการแตะสัมผัส (tapping) ลงบนผิวชิ้นงานดังในรูปที่ 2.3 เนื่องจากการสัมผัสถกันนี้มีการสูญเสียพลังงานของการสั่น ทำให้แอมปลิจูดของการสั่น (oscillation amplitude) ลดลงซึ่งค่าที่ลดลงนี้จะใช้เป็นตัวดัดและนอกถึงลักษณะของพื้นผิวที่มีความสูงต่ำแตกต่างกันไป ตัวอย่างเช่นเมื่อเข้มเคลื่อนที่ผ่านบริเวณที่นูนสูงขึ้นมา ตัวคานก็จะมีพื้นที่หรือแอมปลิจูดในการสั่นลดลง ในทางตรงกันข้าม เมื่อเข้มเคลื่อนที่ผ่านบริเวณที่เข้มมีการยุบตัวหรือความลึกลงไป ตัวคานก็จะมีการสั่นเพิ่มขึ้น และมีแอมปลิจูดเพิ่มขึ้นเข้าใกล้แอมปลิจูดสูงสุดในสภาพที่ยังไม่มีการทำการสแกน แอมปลิจูดของการสั่นที่เปลี่ยนแปลงไปก็จะถูกวัดด้วยเครื่องวัดแอมปลิจูด (amplitude detector) แล้วส่งผ่านไปยังตัวควบคุมซึ่งจะทำการวัดสัญญาณและปรับระยะระหว่างเข้มกับผิวชิ้นงาน เพื่อรักษาให้ค่าแอมปลิจูดของการสั่นคงที่ต่อไป จนกว่าจะมีการเปลี่ยนแปลงของแอมปลิจูดของการสั่นตามสภาพพื้นผิวในบริเวณถัดไป ค่าความขรุขระของพื้นผิว (surface roughness) จะนอกในรูปของค่า RMS (root mean square) ดังสมการ

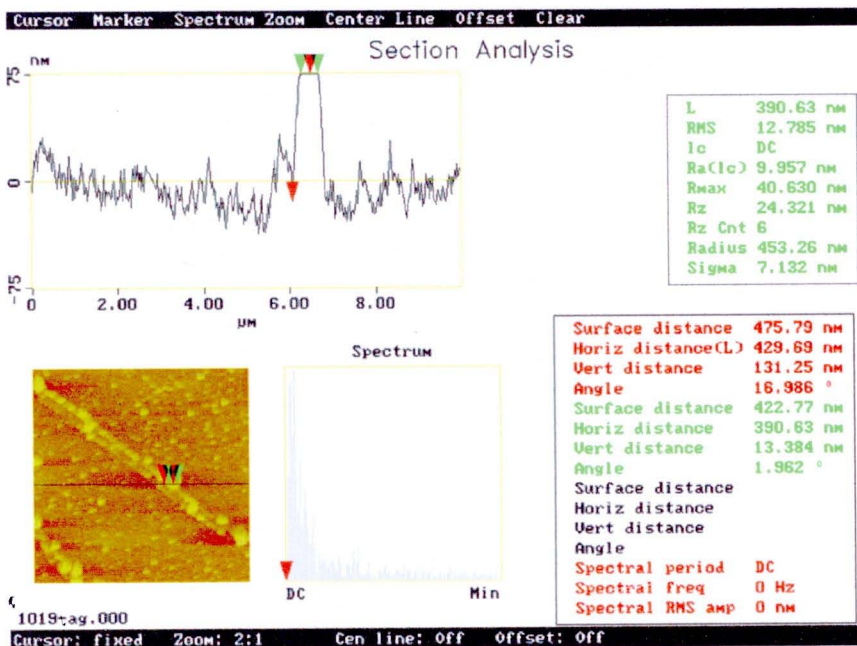
$$R_{rms} = \sqrt{\sum (z_i - \bar{z})^2 / N} \quad (2.15)$$

เมื่อ \bar{z} คือความสูงเฉลี่ยของพื้นที่ของผิวฟิล์มที่สแกน

z_i คือความสูงของแต่ละจุดของฟิล์มที่สแกน

N คือพื้นที่ของผิวที่สแกน

นอกจากนี้ภาพจากกล้องจุลทรรศน์เรցอะตอมยังสามารถคำนวณขนาดกราน (grain size) ของฟิล์มโดยการทำการสแกนผ่านเม็ดผลึกแล้วทำการหาขนาดโดยทำการเลือกเม็ดผลึกที่เห็นชัดเจนแล้วระบุตำแหน่งดังรูปที่ 2.41 จากรูปสแกนลีเซียวและลีಡงจะแทนขนาดของผลึกที่ระบุตำแหน่งไว้คำนวณระยะห่างระหว่างจุดของสแกนลีเซียวและลีเดงที่ระบุตำแหน่งไว้ก็จะได้ขนาดกรานของฟิล์ม



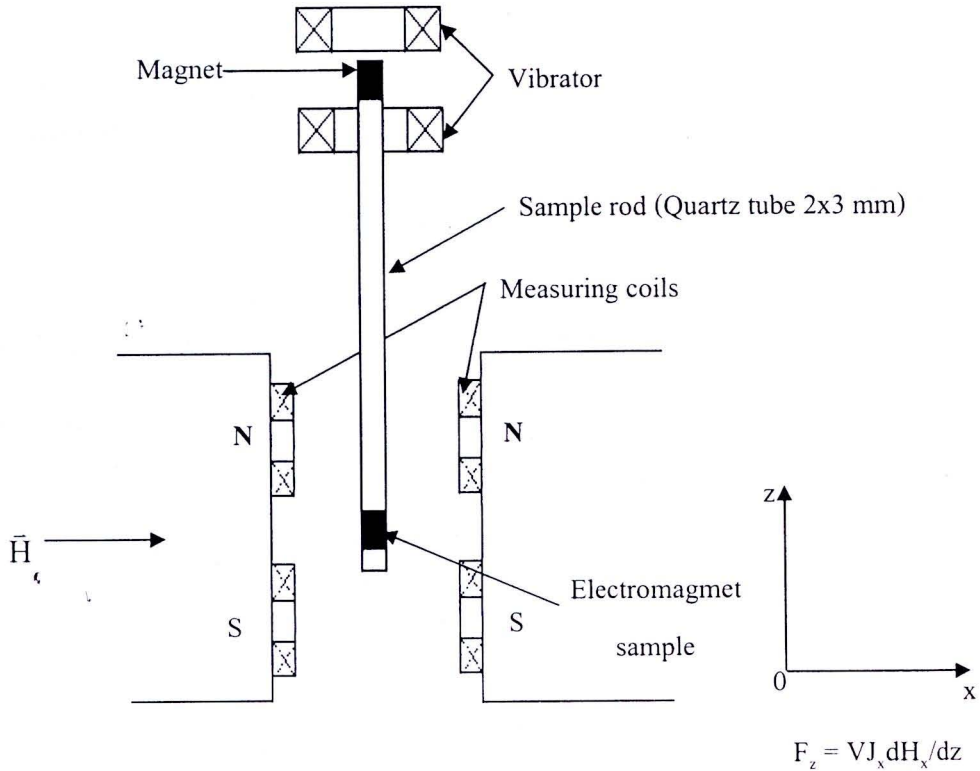
รูปที่ 2.41 การหานาดเกรนด้วยกล้องจุลทรรศน์แรงดึงดูด [30]

2.14 เครื่องวัดสมบัติแม่เหล็กแบบสั่นตัวอย่าง

เครื่องวัดสมบัติแม่เหล็กแบบสั่นตัวอย่าง (Vibrating Sample Magnetometer, VSM) ใช้กันอย่างแพร่หลายในการวัดสมบัติทางแม่เหล็ก การวัดด้วยวิธีนี้สามารถทราบค่าแมกнетิกเซชัน ของตัวอย่างได้มีความแม่นยำสูง การวัดใช้หลักการส่งเส้นแรงแม่เหล็กจากจุดหนึ่งไปยังอีกจุดหนึ่ง เส้นแรงแม่เหล็ก (φ) จากจุดโน้มเมนต์แม่เหล็ก ไปยังขดลวดตรวจวัดที่ใช้วัด เท่ากับผลคูณแบบสเกลลาร์ (scalar product) ของโน้มเมนต์แม่เหล็กกับอัตราส่วน $\frac{\bar{B}}{I}$ เมื่อ \bar{B} คือแม่เหล็กเหนี่ยวนำที่สร้างกระแสหนี่ยวนำ I ที่เกิดขึ้นที่ขดลวดตรวจวัด ดังสมการ

$$\varphi = \left(\frac{\bar{B}}{I} \right) \cdot \bar{M} \quad (2.16)$$

- เมื่อ φ คือเส้นแรงแม่เหล็ก มีหน่วยเป็นนาเบอร์
- \bar{B} คือสนามแม่เหล็กเหนี่ยวนำ มีหน่วยเป็นเทสลา
- I คือกระแสไฟฟ้า มีหน่วยเป็นแอมป์
- \bar{M} คือแมกเนติกเซชันของตัวอย่าง มีหน่วยเป็นแอมเพาร์-ตารางเมตร



รูปที่ 2.42 ส่วนประกอบและการทำงานของเครื่องวัดสมบัติแม่เหล็กแบบสั่นตัวอย่าง (VSM) [31]

จากรูปที่ 2.42 แสดงหลักการทำงานของเครื่องวัดสมบัติแม่เหล็กแบบสั่นตัวอย่าง ซึ่งงานตัวอย่างจะวางตรงกลางระหว่างขดความตราชวัสดุซึ่งชิ้นงานจะสั่นตามแนวตั้ง (แกน z) ที่ความถี่ในการสั่น ($f = \frac{\omega}{2\pi}$) อยู่ระหว่าง 10 ถึง 100 Hz กับแอมเพลจูด z_0 ซึ่งเปลี่ยนแปลงจาก 0.1 ถึง 5 มิลลิเมตรขึ้นกับเครื่องวัดแต่ละรุ่น

จาก

$$z = z_0 \sin \omega t$$

$$\text{แรงคลื่นไฟฟ้าเหนี่ยวนำ } e \text{ หาได้จาก} \quad e = - \frac{d\phi}{dt} \quad (2.17)$$

จะได้

$$e = - \frac{d\phi}{dt} = - \bar{M} \cdot \frac{d(\bar{B}/l)dz}{dz} dt \quad (2.18)$$

เมื่อ

$$\frac{dz}{dt} = z_0 \omega \cos \omega t$$

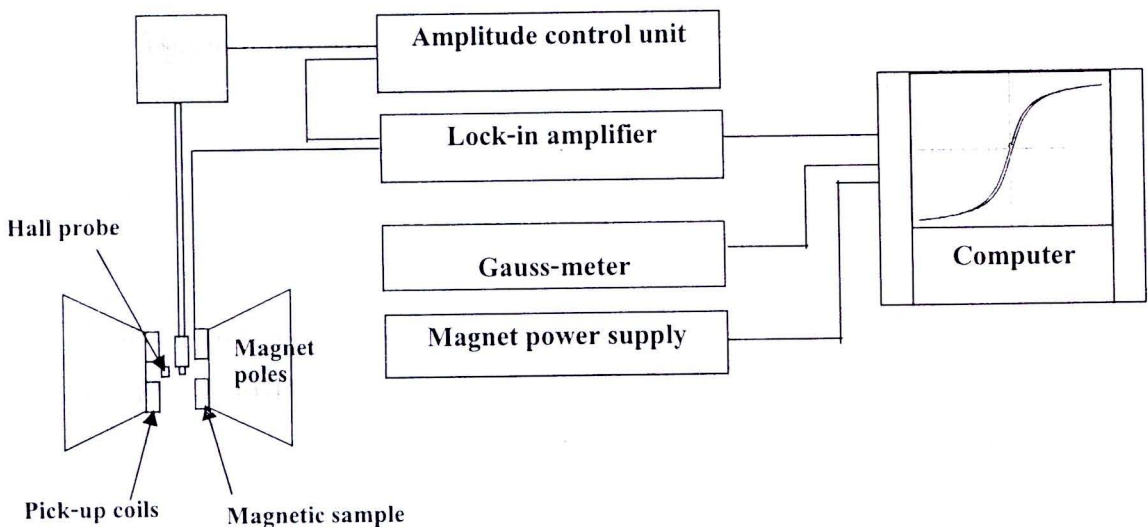
ดังนั้น

$$e = - \bar{M} \cdot z_0 \omega \frac{d(\bar{B}/l)}{dz} \cos \omega t$$

$$e = - E_0 \cos \omega t$$

$$E_0 = -\bar{M} \cdot z_0 \omega \frac{d(\bar{B}/l)}{dz} \quad (2.19)$$

เครื่องวัดสมบัติแม่เหล็กแบบสันนิห์ด้วงป่างประกอบด้วยขดลวดตรวจวัด (pickup coils) จะเป็นแบบ 2 ขด หรือ 4 ขดขึ้นกับเครื่องวัดแต่ละรุ่น แกนของขดลวดจะอยู่ในทิศทางแนวเดียวกับสนามแม่เหล็กภายนอก สัญญาณที่วัดได้ตามแนวแกน X ดังรูป 2.42 เป็นสัดส่วนกับขดลวดตรวจวัดในแนวแกนนอน ซึ่งจะเกิดความต่างศักย์ไฟฟ้ากระแสสลับที่มีความถี่เดียวกับความถี่ของการสั่นของตัวอย่าง และเป็นสัดส่วนกับแมกเน่ไดเซชันของตัวอย่างในขดลวดตรวจวัด สัญญาณที่ได้จะเข้าไปยังเครื่องขยายสัญญาณ (lock-in amplifier) เพื่อขยายสัญญาณและทำให้แอมเพลจุดของการสั่นคงที่ตลอดเวลา ระบบจะถูกเทียบกับตัวอย่างที่รู้ค่าแมกเน่ไดเซชัน คือ นิกเกล เพื่อเปรียบเทียบกับค่าที่วัดได้ หัววัดสนามแม่เหล็กแบบชอล์ดนำมาใช้ในการวัดสนามแม่เหล็ก ดังรูปที่ 2.43 แสดงแผนภาพของเครื่องมือ VSM แบบขดลวด 4 ขด เพื่อวัดค่าสนามแม่เหล็กที่จ่ายให้กับตัวอย่าง สัญญาณที่ได้จากขดลวดตรวจวัดและหัววัดสนามแม่เหล็กแบบชอล์ดจะเข้าไปยังคอมพิวเตอร์เพื่อหาความสัมพันธ์และแสดงในรูปของวงวีสเทอเร็ชีส



รูปที่ 2.43 แผนภาพของเครื่องวัดสมบัติแม่เหล็กแบบสั่นตัวอย่าง (VSM) แบบขดลวด 4 ชด [31]